Universidad Central "Marta Abreu" de Las Villas

Facultad de Ingeniería Eléctrica

Departamento de Electroenergética



TRABAJO DE DIPLOMA

C aracterización de parám etros discretos de calidad de la energía en circuitos de distribución

Autor: Rubisel Mederos Sanabria

Tutor: M s. C. Lester Julio Marrero Rodríguez

Santa Clara

 $2\ 0\ 1\ 7$

"Año 59 de la Revolución"

Universidad Central "Marta Abreu" de Las Villas

Facultad de Ingeniería Eléctrica

Departamento de Electroenergética



TRABAJO DE DIPLOMA

C aracterización de parám etros discretos de calidad de la energía en circuitos de distribución

Autor: Rubisel Mederos Sanabria

rm ederos@uclv.cu

Tutor: Ms. C. Lester Julio Marrero Rodríguez

lesterr@uclv.cu

Santa Clara

2017

"Año 59 de la Revolución"



Hago constar que el presente trabajo de diplom a fue realizado en la Universidad Central "Marta Abreu" de Las Villas com o parte de la culminación de estudios de la especialidad de Ingeniería en Eléctrica, autorizando a que el mismo sea utilizado por la Institución, para los fines que estime conveniente, tanto de forma parcial com o total y que además no podrá ser presentado en eventos, ni publicados sin autorización de la Universidad.

Firm a del Autor

Los abajo firm antes certificam os que el presente trabajo ha sido realizado según acuerdo de la dirección de nuestro centro y el mismo cum ple con los requisitos que debe tener un trabajo de esta envergadura referido a la temática señalada.

Firm a del Autor

Firm a del Jefe de Departam ento

donde se defiende el trabajo

Firm a del Responsable de

Inform ación Científico-Técnica

PENSAM IENTO

"El valor de una idea radica en el uso de la misma"

Tomas A. Édison

D E D I C A T O R I A

A mimadre, padre y demás familiares por poder contar con su apoyo y comprensión en los buenos y malos momentos.

AGRADECIMIENTOS

A mis padres y familiares, por su apoyo, confianza y dedicación.

 $A\ mis\ profesores,\ porsus\ conocim\ ientos\ y\ entrega.$

TAREATÉCNICA

1.	Realización de una búsqueda bibliográfica sobre los parám etros discretos de calidad
	de la energía en circuitos eléctricos de distribución, aspectos generales a consideras
	para su estudio y m onitorización, así com o las curvas de tolerancia.

- 2. Presentación de una metodología para caracterizar parámetros discretos de calidad de la energía en circuitos de distribución basada en el empleo de técnicas estadísticas y las curvas de tolerancia a las variaciones de tensión.
- 3. A plicación de la metodología a las mediciones disponibles empleando MATLAB.

Firm a del Autor	Firm a del Tutor

RESUMEN

En los últimos años se ha producido de manera acelerada la introducción de equipos de tecnología digital avanzada en los sectores residencial, com ercial e industrial, lo que garantiza una mayor automatización a los procesos y calidad de vida del hombre. Sin em bargo, la operación eficiente de estos dispositivos manifiesta alta dependencia de la calidad de la energía eléctrica, por lo que resulta indispensable para evitar altas pérdidas m onetarias el chequeo sistemático de las redes de distribución, por cuanto es a través de estas que estos sectores disponen de la energía eléctrica. En el trabajo se efectúa la caracterización y se analiza el comportamiento de problemas discretos de calidad de la energía en circuitos eléctricos de distribución, específicam ente de las variaciones de tensión de corta y larga duración. Para ello se emplean las curvas de tolerancia y diferentes herram ientas estadísticas, las que son implementadas en MATLAB. Son utilizadas com o ejem plo las lecturas recopiladas durante 2016 y 2017 de interrupciones ocurridas en Santa Clara, así com o de las correspondientes a las variaciones de tensión en 2016 en uno de los circuitos de distribución de Sancti Spíritus. Los resultados obtenidos tras la aplicación de cada una de las técnicas estadísticas y de las curvas representativas en la caracterización de estos problem as reflejan una tendencia al crecimiento de las interrupciones y la presencia de variaciones de voltaje nocivas para equipos sensibles.

TABLA DE CONTENIDOS

PENSAMIENTO	i
D E D I C A T O R I A	i i
A G R A D E C IM IE N T O S	iii
TAREA TÉCNICA	i v
RESUMEN	v
IN T R O D U C C IÓ N	1
Organización del inform e	2
CAPÍTULO 1. REVISIÓN BIBLIOGRÁFICA	4
1.1 Conceptos fundam entales	4
1.2 Problem as discretos de calidad de la energía	6
1.2.1 Variaciones de tensión de larga duración	7
1.2.2 Variaciones de tensión de corta duración	8
1.3 M onitorización de problem as discretos de calidad de la energía	1 4
1.3.1 Magnitudes eléctricas a medir y duración del estudio	1 4
1.3.2 Métodos de medición	1 4
1.4 Curvas de tolerancia a las variaciones de tensión	15
CAPÍTULO 2. MATERIALES Y MÉTODOS	18
2.1. Táppings actadísticas	1.0

2.1.1	Variables aleatorias discretas	1 8
2.1.2	M edia y desviación estándar de variables aleatorias discretas	1 9
2.1.3	Histogram as de probabilidad	2 0
2 .1 .4	Estimación puntual y por intervalo de la media y la desviación est	ándar 21
2.1.5	Distribución de probabilidad norm al o de Gauss	23
2.2 C	uantificación de la susceptibilidad de los equipos a problem as discre	tos de
calidad o	de la energía	2 4
C A P ÍT U L O	O 3. RESULTADOS Y DISCUSIÓN	25
3 . 1 I n	terrupciones	2 5
3 .2 V	ariaciones de tensión (Sags/ Swells)	3 6
CONCLUS	SIONES Y RECOMENDACIONES	4 0
C onclus	iones	4 0
Recom e	n d a c i o n e s	4 1
REFEREN	CIAS BIBLIOGRÁFICAS	4 2
ANEXOS		4 5
Anexo I	Nom enclador de causas	4 5
Anexo I	I Nom enclador de Subcausas	4 5

1

INTRODUCCIÓN

En la actualidad, la calidad de la energía eléctrica (PQ, siglas en inglés de *Power Quality*) y el sum inistro de la misma se han convertido en una seria preocupación entre sum inistradores, consum idores, fabricantes de equipos e investigadores [1, 2]; dado su impacto directo, desde el punto de vista económ ico, en los sectores industrial y dom éstico, lo que afecta el desarrollo de cualquier nación [3].

La PQ comprende un amplio rango de fenómenos electromagnéticos cuyas principales causas radican en la presencia cada vez mayor dentro del sistema eléctrico de elementos no lineales [1].

Se han publicado normas internacionales para establecer límites permisibles y minimizar estos problemas, como las de la serie IEC (siglas en inglés de International Electrotechnical Commission) 61000 y las IEEE (siglas en inglés de Institute of Electric and Electronic Engineers).

Desde el punto de vista del dom inio del tiem po, los disturbios de PQ pueden ser continuos o discretos. Los disturbios continuos: distorsión de la forma de onda (armónicos e interarmónicos), desbalance, fluctuación y desviación de la tensión están presentes en cada ciclo de la forma de onda, mientras que los disturbios discretos, tales com o interrupciones, huecos de tensión (sags) y sobretensiones (swells), aparecen com o eventos aislados e independientes.

Las interrupciones son disminuciones tensión por debajo del 10% de su valor nominal. Estas pueden ser el resultado de fallas en el sistema, equipos averiados o debidas al mal funcionamiento de los sistemas de control. Los sags se caracterizan por una disminución de tensión entre el 10 y 90 % del valor nominal con duraciones menores a un segundo y

asociado a fallas en el sistema como cortocircuitos y conexión de grandes cargas. Los swells son incrementos superiores al 110% de la tensión nominal, relacionados a conexión de grandes bancos de capacitores o desconexión grandes motores.

Antecedentes:

En la mayoría de nuestros circuitos de distribución se encuentran instalados dispositivos de medición capaces de ofrecer una visión efectiva del comportamiento de la calidad de la energía en el sistema. Distintas variables de medición de PQ, en particular las correspondientes a los disturbios de tipo discreto, no están siendo explotadas íntegram ente por la Unión Eléctrica. En adición a este inconveniente, está el hecho de no contar con una metodología efectiva para la evaluación de dichos disturbios.

Problem a científico:

¿Cóm o contribuir a la caracterización de parámetros discretos de calidad de energía en circuitos eléctricos de distribución?

O bjetivo general:

Caracterizar parámetros discretos de calidad de energía en circuitos eléctricos de distribución.

O bjetivos específicos:

- Realizar una búsqueda bibliográfica sobre los parám etros discretos de calidad de la energía en circuitos eléctricos de distribución, aspectos generales a considerar para su estudio y monitorización, así com o las curvas de tolerancia.
- 2. Presentar una metodología para caracterizar parám etros discretos de calidad de la energía en circuitos de distribución basada en el empleo de técnicas estadísticas y las curvas de tolerancia a las variaciones de tensión
- $3 \ . \ . \ A \ plicar \ la \ m \ eto \ do \ log \ \'ia \ a \ las \ m \ ediciones \ disponibles \ em \ plean \ do \ M \ A \ T \ L \ A \ B \ .$

O rganización del inform e

La estructura del trabajo está com puesta por introducción, tres capítulos, conclusiones, recom endaciones, bibliografía y anexos.

En el primer capítulo se describen aspectos generales acerca de los principales problem as de calidad de la energía de tipo discreto que se presentan en circuitos de distribución y se define la metodología para su estudio, sus índices y límites, según las normas IEC.

En el segundo capítulo se muestra el conjunto de técnicas estadísticas cuya correcta aplicación posibilita la caracterización de dichos problem as.

En el tercer capítulo, se exponen los resultados obtenidos tras aplicar dichas técnicas estadísticas a mediciones reales, y se efectúa su análisis y discusión.

CAPÍTULO 1. REVISIÓN BIBLIOGRÁFICA

Los sistemas de energía eléctrica han sido objeto de muchas modificaciones desde el mismo momento en que surgieron. Las redes eléctricas modernas tienen muchos retos que deben ser solucionados con el fin de suministrar la energía de una manera fiable. [6] Existen en la actualidad un grupo de factores externos e internos que afectan la calidad y disponibilidad de la energía sum inistrada. La ocurrencia de tales problemas en el sistema de energía eléctrica es casi indispensable. Por tanto, para mantener una buena calidad de la energía, debe obtenerse continuamente un diagnóstico preciso del comportamiento del sistema. El presente capítulo discute aspectos básicos relacionados con los problemas discretos de calidad de la energía.

1.1 Conceptos fundam entales

El término PQ es aplicado a una amplia variedad de fenómenos electromagnéticos en los sistemas de potencia. La creciente aplicación de equipamiento electrónico y generación distribuida han realzado el interés en la PQ en años recientes, y esto ha sido acompañado por el desarrollo de una terminología especial para describir el fenómeno. [7]

Básicamente, según [7], es cualquier problema de desviación de voltaje, corriente o frecuencia que cause una falla o mala operación del equipamiento del cliente. Por su parte, la IEEE define en la norma IEEE1100 la calidad de energía com o "el concepto de entregar energía y puesta a tierra a equipos electrónicos sensibles de una manera adecuada para el equipo." [8]

El sistema de potencia de corriente alterna están diseñados para operar a una tensión sinusoidal de una frecuencia (generalmente 50 o 60 Hz) y magnitud dadas. Cualquier desviación significativa en la magnitud de la onda o la frecuencia, es un problem a potencial

de PQ. Aunque los generadores pueden proporcionar una onda de tensión cercana a una sinusoide perfecta, la corriente que circula a través de la impedancia del sistem a puede causar una variedad de trastornos al voltaje. Por ejem plo,

- La corriente resultante producto de un cortocircuito produce una caída o la desaparición total de voltaje.
- 2. Las corrientes producto de impactos de rayos que circulan a través del sistem a causan impulsos de alto valor en la onda de tensión que frecuentem ente afecta el aislam iento y conduce a otros fenóm enos, tales com o cortocircuitos.
- 3. Las corrientes distorsionadas producto de la acción de armónicos también distorsionan la tensión a medida que circulan a través de la impedancia del sistem a.
 A sí, el voltaje distorsionado se presenta en otros consumidores.

Teniendo en consideración la importancia de desarrollar normas internacionales que garanticen compatibilidad entre los circuitos de sum inistro eléctrico y los equipos eléctricos de los consum idores conectados a los mismos, la IEC ha desarrollado el concepto de EM C (siglas en inglés de compatibilidad electromagnética), ya en uso por más de hace una década. [9]

La EMC radica en la capacidad de un dispositivo, equipo o sistem a para funcionar de manera satisfactoria en su entorno electrom agnético sin producir perturbaciones electrom agnéticas inadm isibles a cualquier otro dispositivo a su alrededor. [10]

La EM C implica dos conceptos principales a tener en cuenta: la inmunidad y la emisividad. El primero hace referencia a la capacidad de funcionar sin degradación en presencia de perturbaciones electromagnéticas, y el segundo a la generación de perturbaciones que puedan superar los niveles de inmunidad de otros equipos existentes en el mismo entorno electromagnético. El entorno electromagnético de un equipo engloba todo aquello que sea susceptible de generar problemas en él, todo aquello que sea susceptible de padecer problemas a consecuencia del mismo y todo lo que pueda modificar las características electromagnéticas del medio.

Diversas asociaciones y entidades normativas han propuesto niveles de EMC para los distintos tipos de perturbaciones de la onda de tensión. Estos niveles coordinan la aptitud de

los equipos para soportar niveles de perturbación, y los niveles de perturbación máximos que deben existir en la red. Por un lado se tiene la probabilidad de la inmunidad de los equipos, es decir, la probabilidad que tienen de ser inmunes a un nivel de perturbación dado, la cual debe ser de un 95% de acuerdo a los niveles de inmunidad fijados por la EMC, de lo cual deben encargarse los fabricantes de equipos, con diseños aptos para funcionar con normalidad con esos niveles de perturbación; y por otro lado se tiene la probabilidad del nivel de perturbación existente en el sistem a, o sea la probabilidad de que las perturbaciones en el mismo sean inferiores a los límites de emisión fijados por la EMC, que debe ser igualmente de un 95%, por lo que deben controlarse las fuentes emisoras en el sistem a. La figura 1.1 ilustra lo anteriormente explicado.

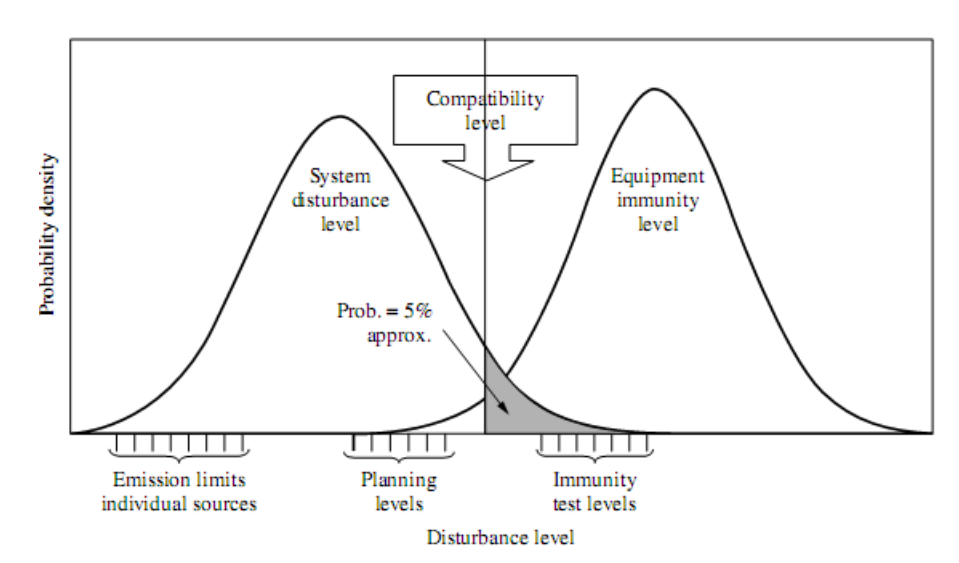


Figura 1.1. Relación entre los niveles de compatibilidad, inmunidad, planificación y em isión. [11]

A dem ás, los niveles de EMC consideran que los lím ites fijados deben cum plirse el 95% de l tiem po y en el 95% de los puntos de la red, incluyendo por tanto una com ponente aleatoria ligada no solo al tiem po sino tam bién al espacio. [12]

1.2 Problem as discretos de calidad de la energía

Los problem as discretos de PQ abarcan un amplio rango de fenóm enos electrom agnéticos diferentes. Cada uno de estos fenóm enos puede tener una variedad de causas distintas y diferentes consecuencias.

A continuación, se presenta una visión general de los principales problem as de PQ de tipo discreto, donde se proporciona información respecto a la duración y magnitud para cada categoría de fenómeno electromagnético, lo que resulta importante para clasificar resultados de mediciones y describir claramente un disturbio electromagnético en cuestión.

1.2.1 Variaciones de tensión de larga duración

Las variaciones de larga duración com prenden las desviaciones de la tensión eficaz o RM S (siglas en inglés de root mean square) a la frecuencia del sistem a por más de un minuto. [7] La ANSI (siglas en inglés de American National Standards Institute) C84.1 [13] establece las tolerancias de operación del voltaje en estado estable en el sistem a de potencia para 60 Hz, lo que se refleja en la figura 1.2. La norma divide el voltaje en dos rangos: Rango A com o óptim o nivel de voltaje y Rango B com o aceptable, pero no óptim o. En la imagen, el rango som breado (a) no se aplica a circuitos que alimentan cargas de iluminación, mientras que el (b) no se aplica a sistem as de 120 V - 600 V.

Es decir, cuando son excedidos estos límites por más de un minuto, la variación de voltaje es considerada de larga duración. Las variaciones de larga duración pueden ser sobretensiones o subtensiones, y generalmente no son el resultado de fallas en el sistema, sino que son causadas por variaciones de la carga y operaciones de conexión y/o desconexión de estas dentro del sistema.

Sobretensión

Una sobretensión es el incremento del voltaje RMS de corriente alterna a valores mayores que 110 % a la frecuencia del sistema para una duración mayor de un minuto. Una sobretensión puede surgir cuando por ejemplo se produce la desconexión de una carga grande en el sistema o cuando se energiza un banco de capacitores. Estas sobretensiones se producen debido a que el sistema es muy débil para la regulación deseada de voltaje o los controles para llevar a cabo este proceso son inadecuados. La configuración incorrecta de los taps en transform adores puede tam bién resultar en sobretensiones.

Subtensión

U na subtensión es un decremento en el voltaje R M S de corriente alterna por debajo del 90 % a la frecuencia del sistem a por una duración mayor a un minuto. Las subtensiones son

igualmente el resultado de eventos de conexión y/o desconexión de cargas en el sistema, pero opuestos a los eventos que causan sobretensión. La conexión de grandes cargas o desconexión de bancos de capacitores pueden causar una subtensión hasta que el equipo de regulación de voltaje en el sistem a pueda retornar el voltaje a los límites de tolerancia. Los circuitos sobrecargados pueden tam bién resultar en subtensiones.

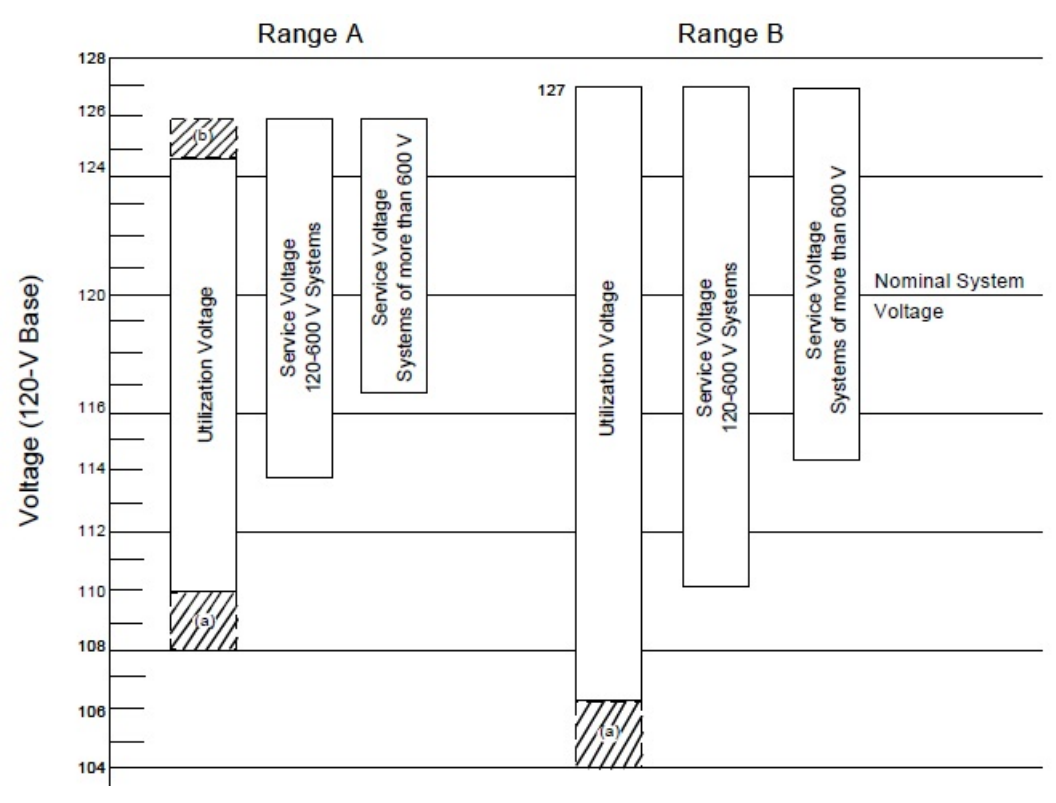


Figura 1.2. Rangos de voltaje según la ANSIC84.1. [13]

1.2.2 Variaciones de tensión de corta duración

Dentro de esta categoría se encuentran los huecos de tensión (sags) y las sobretensiones (swells). Cada tipo de variación puede ser designada como instantánea, momentánea o temporal, dependiendo de su duración.

En general, las variaciones de voltaje de corta duración son causadas por condiciones de falla, la conexión de grandes cargas que requieren grandes corrientes de arranque, o conexiones no sólidas dentro del sistem a de sum inistro. Dependiendo de la localización de la falla y las condiciones del sistem a, la falla puede causar una caída tem poral de voltaje, la elevación del mismo, o incluso su interrupción total. La condición de falla puede ser cercana o remota al punto de interés. En cada caso, el impacto en el voltaje durante la

condición de falla es una variación de corta duración hasta que el dispositivo de protección opere para despejar la falla. [7]

Sags

Los sags de voltaje son am pliam ente aceptados com o el problem a de PQ más prom inente al considerar las consecuencias financieras para los usuarios. La alta frecuencia de ocurrencia de los mismos y la incrementada sensibilidad del equipamiento de los clientes a las perturbaciones de la tensión resultan en un inaceptable alto número de interrupciones costosas de procesos de producción en instalaciones industriales. Las pérdidas financieras de los usuarios debido a sags se reflejan directam ente en m últiples operaciones de carácter com ercial e industrial, incluyendo pérdidas de ingresos, daños a productos, derroches de energía, dism inución de la vida útil del equipam iento, pérdida de la productividad, etc. [14] Básicam ente, un sag es un decrem ento entre 0.1 y 0.9 pu del voltaje o la corriente rm s a la frecuencia del sistema para duraciones desde medio ciclo de la forma de onda hasta un minuto. Las distintas asociaciones sobre PQ han usado el término sag por muchos años para describir el decremento de voltaje de corta duración. Aunque el término no se ha definido form almente, ha sido cada vez más aceptado y usado por sum inistradores, fabricantes de equipos y usuarios. La definición de la IEC para este fenóm eno es conocida com o hueco de tensión (dip). Los dos térm inos son intercam biables, siendo sag el preferido en Estados Unidos.

La terminología usada para describir la magnitud del sag de voltaje es a menudo confundida. El "20 % de un sag" puede referirse a un hueco de tensión de 0.8 pu o 0.2 pu. La terminología preferida que no deja margen a dudas en cuanto al nivel de tensión resultante es: "un sag de 0.8 pu" o "un sag cuya magnitud fue de 20 %". Cuando no sea especificado de otra manera, un sag de 20 % se considera un evento durante el cual el voltaje RMS disminuye un 20 % hasta 0.8 pu. El voltaje nominal o de base debe ser especificado.

Los sags de voltaje están usualmente asociados a fallas en el sistema, pero pueden también estar asociados a la conexión de grandes cargas o al arranque de motores de gran potencia. La figura 1.3 muestra un sag de voltaje típico, el cual podría estar asociado con una falla monofásica a tierra (SLG, siglas en inglés de single-line-to-ground) en otro alimentador de

la misma subestación. Un 80 % del sag se mantiene por alrededor de tres ciclos hasta que la protección eléctrica de la subestación es capaz de interrum pir la corriente de falla. Los tiem pos de lim pieza de fallas típicos tienen un rango de entre 3 y 30 ciclos de la forma de onda, dependiendo de la magnitud de la corriente de falla y el tipo de protección de sobrecorriente. [7]

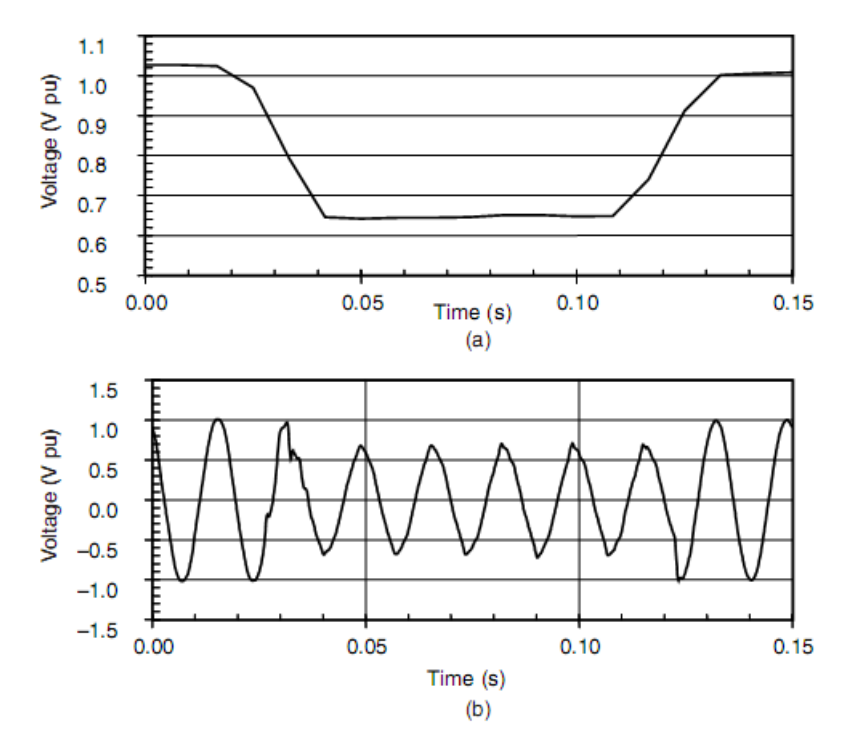


Figura 1.3. Sag de voltaje causado por una falla SLG. (a) Valor RMS del voltaje. (b) Form a de onda del voltaje. [7]

A dem ás, está el hecho de que estas fallas no solamente provocan la caída en la magnitud del voltaje, sino que tam bién producen un cam bio en el ángulo de fase del mismo. Por lo tanto, convertidores basados en electrónica de potencia que dependan de la información del ángulo de fase para sus tiempos de disparo pueden quedar afectados por el cam bio en el ángulo de fase. [15]

La figura 1.4 ilustra los efectos del arranque de un motor de gran potencia. Un motor de inducción alcanza entre seis y 10 veces su corriente nominal durante su arranque. Si la magnitud de corriente es grande en comparación con la corriente de falla disponible en el sistem a en ese momento, el sag de voltaje puede ser significativo. En este caso, el voltaje cae inmediatamente a un 80 % y luego gradualmente retorna a su valor normal en alrededor

de tres segundos. Existe una diferencia de tiem po entre casos com o este y el sag debido a una falla en el sistem a.

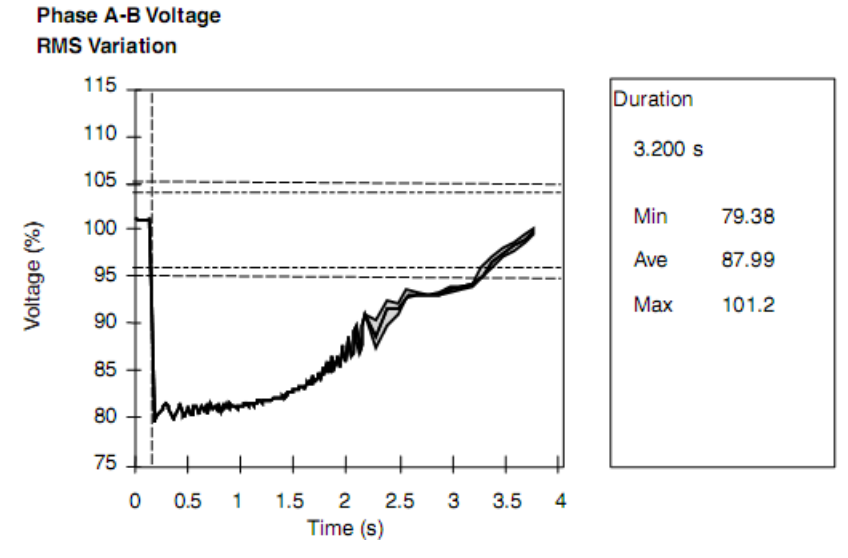


Figura 1.4. Sag de voltaje tem poral causado por el arranque de un motor. [7]

La duración de los sags no ha sido definida claramente aún. La duración típica ha sido establecida en algunas publicaciones desde dos milisegundos (alrededor 1/10 de ciclo) hasta un par de minutos. Las subtensiones que duren menos de la mitad de un ciclo no pueden ser caracterizadas de manera efectiva, por tanto, estos eventos son considerados como transitorios. Las subtensiones que duren más de un minuto pueden ser controladas por equipos reguladores de voltaje y estar asociadas a otras causas además de fallas en el sistema, por lo que se clasifican en variaciones de larga duración.

La duración entonces de los sags se subdivide en tres categorías: instantáneas (de 0.5 a 30 ciclos), momentáneas (de 30 ciclos a tres segundos) y temporales (de tres segundos a un minuto). Estas categorías son también aplicables a los swells. Estas duraciones tienen la intención de corresponder a tiem pos típicos de operación de dispositivos de protección, así como a la duración de divisiones recomendadas por las organizaciones técnicas internacionales.

Swells

Los swells son definidos com o un incremento entre 1.1 y 1.8 pu del voltaje o la corriente rm s a la frecuencia del sistem a por duraciones desde 0.5 ciclos a un minuto. Com o en el

caso de los sags, los swells están usualmente asociados a condiciones de fallas en el sistem a, pero estos no son tan com unes com o los sags.

Una de las formas en que puede ocurrir un *swell* es producto del aumento temporal del voltaje en las fases no falladas durante una SLG. La figura 1.5 ilustra un *swell* de voltaje causado por una SLG. Los *swells* pueden ser causados también por la desconexión de grandes cargas o la conexión de grandes bancos de capacitores. Están caracterizados por su magnitud (valor RMS) y duración.

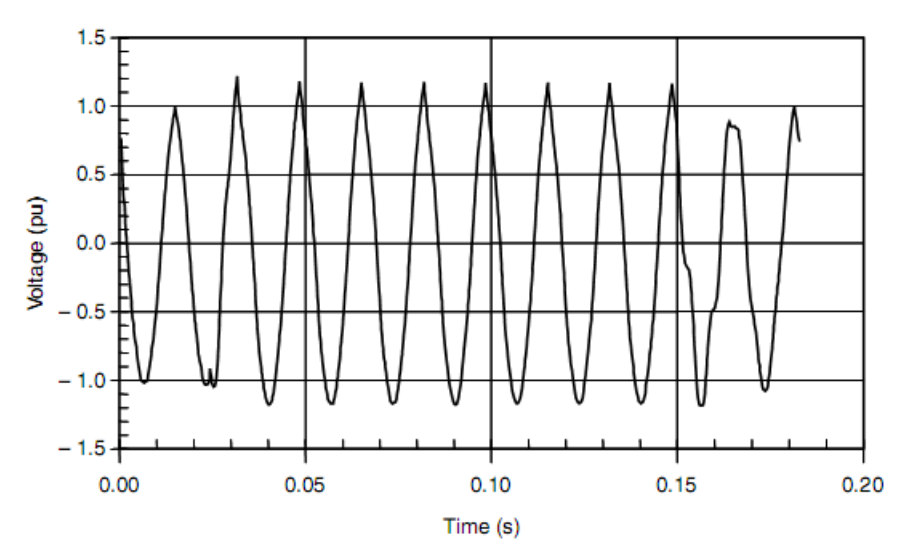


Figura 1.5. Swell de voltaje instantáneo causado por una falla SLG. [7]

La gravedad de un swell de voltaje durante una condición de falla es función de la ubicación de la falla, la impedancia del sistema y el estado de la puesta a tierra. En un sistema sin conexión a tierra, con una impedancia de secuencia cero infinita, los voltajes de fase en las fases sin conexión a tierra serán de 1.73 pu durante una SLG. En un sistema con conexión a tierra, cerca de la subestación habrá un pequeño o nulo aumento de voltaje en las fases no falladas porque el transformador de la subestación es usualmente conectado en delta-estrella, proporcionando una baja impedancia de secuencia cero al paso de la corriente de falla. Las fallas en diferentes puntos a lo largo de alimentadores de cuatro hilos con varias conexiones a tierra tendrán grados variables de swells de voltaje en las fases no falladas.[7]

Entre los efectos negativos que desencadenan se encuentran el daño a partes electrónicas en algunos dispositivos, la ruptura del aislam iento y sobrecalentam ientos excesivos. [6]

Interrupciones

Se produce una interrupción cuando la tensión de alimentación o la corriente de carga disminuyen a menos de 0,1 pu durante un período de tiempo no superior a un minuto. Las interrupciones pueden ser el resultado de fallas en el sistem a de potencia, fallas del equipo y m al funcionamiento del control. Las interrupciones se miden por su duración ya que la m agnitud del voltaje es siem pre inferior al 10 por ciento del nom inal. La duración de una interrupción debida a un fallo en el sistema de servicio se determina por el tiempo de funcionam iento de los dispositivos de protección de los servicios públicos. El reenganche instantáneo limitará generalmente la interrupción causada por un fallo no permanente a m enos de 30 ciclos. El reenganche retrasado del dispositivo de protección puede causar una interrupción momentánea o temporal. La duración de una interrupción debido a mal funcionam iento del equipo o conexiones sueltas puede ser irregular. Algunas interrupciones pueden estar precedidas por un hundimiento de voltaje cuando estas interrupciones se deben a fallos en el sistem a de origen. El hundim iento de tensión ocurre entre el momento en que se inicia un fallo y el dispositivo de protección funciona. La figura 1.6 m uestra una interrupción momentánea tal durante la cual el voltaje en una fase se hunde a aproxim adamente 20 por ciento durante aproxim adamente 3 ciclos y luego cae a cero durante aproxim adam ente 1,8 segundos hasta que el reconectador se cierra de nuevo. [7]

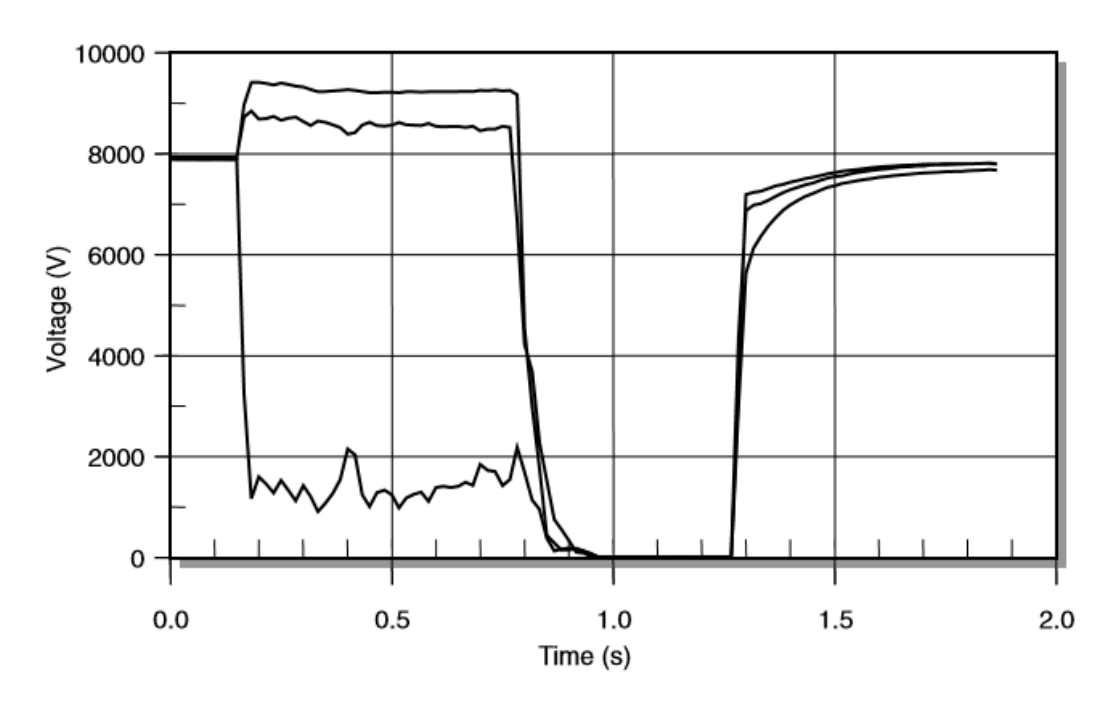


Figura 1.6. Voltajes de fase R M S para una interrupción m om entánea debido a una falla y la subsecuente operación de recierre. [7]

1.3 M onitorización de problem as discretos de calidad de la energía

Para permitir que el resultado de cada uno de los program as de monitorización de eventos discretos de PQ sea analizado de form a efectiva y mantener la consistencia entre ellos, existen requerimientos básicos que necesitan ser cumplidos: métodos de medición, magnitudes eléctricas a medir y duración del estudio. [9]

1.3.1 Magnitudes eléctricas a medir y duración del estudio

En la mayor parte de las ocasiones, cuando se caracterizan problem as discretos de PQ, es suficiente la monitorización solamente de la señal de voltaje, ya que esta posibilita el análisis de transitorios, sags y swells que afectan a los clientes.

Para el estudio de estos fenóm enos la duración requerida es una extensión significativa de tiem po (generalm ente se tom a un año com o mínim o), debido a la baja probabilidad de las mismos.[7]

1.3.2 Métodos de medición

La norm a IEC 61000-4-30 [4] específica los requerim ientos a tener en consideración para el proceso de medición y la exactitud requerida en las mediciones en sistem as de corriente alterna de 50/60 Hz. La norm a define dos clases de instrum entos de medición:

- Clase A, para mediciones donde se requiera una gran precisión y exactitud de los resultados, siendo apropiada para laboratorios u otras aplicaciones especiales.
- 2. Clase B, para mediciones donde no se requiera alta precisión y exactitud, apropiado para la mayoría de las mediciones de PQ (estudios, solución de problemas, caracterización de rendimiento, etc.).

La norm a señala que la medición se realiza en base al voltaje RMS actualizado cada medio ciclo de la form a de onda $(V_{rms\ (I/2)})$ por cada canal de medición. [9]

En esta norm a también se introduce el concepto de aggregation, usado en dos situaciones diferentes: la primera conocida com o time aggregation, cuando múltiples mediciones asociadas a un mismo evento no son contadas en esas múltiples ocasiones, por ejemplo, múltiples sags de voltaje causados por operaciones de recierre se cuentan com o un solo evento a la hora de evaluar su impacto en los usuarios y el sistema; [7] y la segunda

definida com o *phase aggregation*, cuando se registran los valores de la fase más afectada para caracterizar un disturbio, por ejem plo, ante un *sag* desbalanceado, la fase de mayor magnitud será la usada para caracterizar dicho *sag*. [9]

1.4 Curvas de tolerancia a las variaciones de tensión

Las curvas de tolerancia a las variaciones de tensión, también conocidas com o curvas de aceptabilidad de potencia, se grafican en planos de desviación de voltaje en por ciento contra tiem po de duración de la variación, norm alm ente expresado en segundos o en ciclos de la componente fundam ental y en escala logarítm ica.

Existen varias curvas de tolerancia de voltaje, pero la más ampliamente usada es la curva CBEMA (siglas en inglés de Computer and Business Equipment Manufacturers Association). Esta curva fue creada en la década de los 70 del pasado siglo con el propósito inicial de proporcionar una medida de la vulnerabilidad de los ordenadores centrales a los disturbios presentes en el sistema eléctrico de sum inistro. Sin embargo, su uso ha sido extendido también para dar una medida de la calidad de la energía para dispositivos de accionamiento eléctrico, cargas de estado sólido, así como otras cargas residenciales, com erciales e industriales. [9]

La figura 1.7 ilustra esta curva. Las líneas simbolizan la variación de tensión (ΔV) y representan el caso de tensión al valor nom inal, mientras que los sem iplanos $\Delta V < 0$ y $\Delta V > 0$ corresponden a las regiones de tensión inferior y superior al valor nom inal respectivamente. La región entre los dos lados de la curva representa la zona de tolerancia dentro de la que se espera que los equipos electrónicos sensibles funcionen correctamente. Cuando la tensión se encuentra por debajo de esta zona, el equipo puede funcionar mal o interrum pirse su funcionamiento, mientras que cuando la tensión está por encima, adem ás del mal funcionamiento del equipo, pueden producirse daños en el mismo. [16]

Esta curva fue modificada en 1996 y renom brada com o ITI (siglas en inglés de *Informatio n Technology Industry Council*), la cual surgió para equipos de computación de 120 V RMS y 60 Hz, aunque, al igual que su predecesora, se aplica para la evaluación general de PQ.

[7] La figura 1.8 m uestra dicha curva.

A m bas gráficas difieren en la manera que es presentada su región de aceptabilidad, ya que la curva CBEMA limita esta región mediante una curva, mientras que la ITI la limita mediante pasos. A m bas curvas han sido aceptadas como normas y publicadas en las versiones recientes IEEE 446 e IEEE 1100.

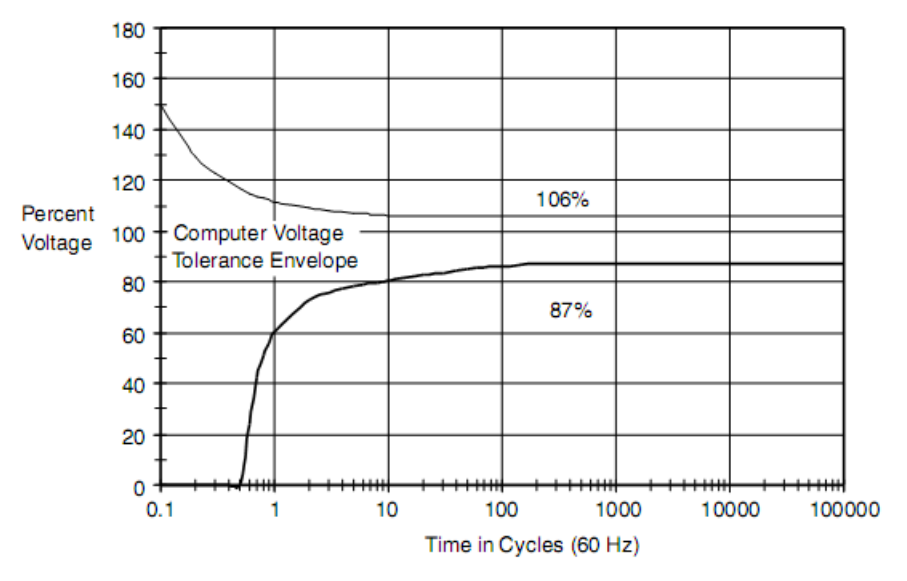


Figura 1.7. Curva CBEM A. [7]

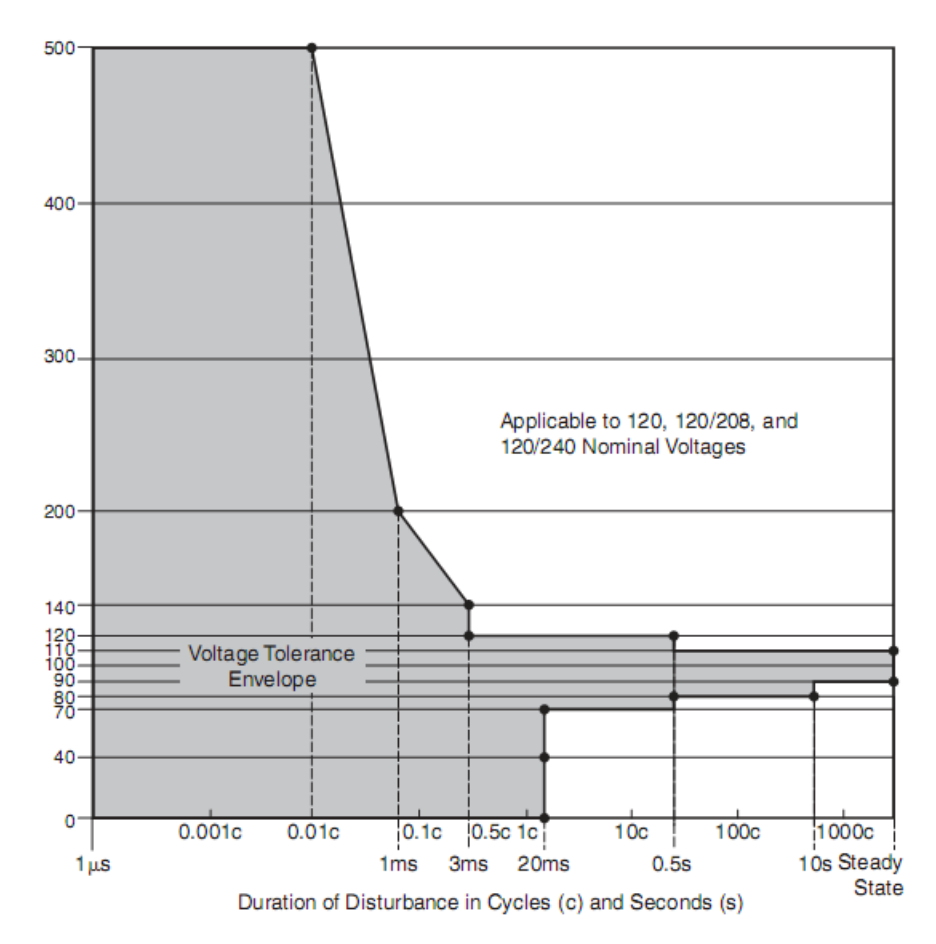


Figura 1.8. Curva ITI. [7]

CAPÍTULO 2. MATERIALES Y MÉTODOS

Las caídas de tensión y las interrupciones son problem as relacionados con la calidad de la energía. Am bas son usualmente el resultado de fallas en el sistem a de potencia y acciones de conmutación para aislar las secciones averiadas. Se caracterizan por variaciones de tensión RMS fuera del rango normal de funcionamiento de los voltajes. Una caída de tensión es una reducción de corta duración (normalmente de 0,5 a 30 ciclos) en el voltaje RMS causado por fallos en el sistem a de potencia y el arranque de grandes cargas, com o los motores. Las interrupciones momentáneas (típicamente no más de 2 a 5 s) causan una pérdida completa de voltaje y son un resultado común de las acciones tomadas por los servicios públicos para borrar fallas transitorias en sus sistemas. Las interrupciones sostenidas de más de 1 min se deben generalmente a fallos permanentes.[3]

El estudio de estos parám etros es muy importante hoy en día, debido a que los clientes de todos los sectores (residencial, comercial e industrial) tienen cargas más sensibles, y su impacto es realmente considerable para la economía. En este capítulo se esboza la metodología para caracterizar estos fenómenos, que se basa en técnicas estadísticas y la cuantificación de la susceptibilidad del equipo.

2.1 Técnicas estadísticas

Dentro de las principales técnicas estadísticas para la caracterización efectiva de estos fenóm enos están los histogram as de probabilidad y la estim ación puntual y por intervalo.

2.1.1 Variables aleatorias discretas

Previo a establecer la definición de variable aleatoria discreta, resulta inminente tratar los términos de experimento aleatorio y espacio muestral. Un experimento se considera

aleatorio cuando no se puede predecir con toda exactitud su resultado antes de realizarlo.

Por su parte, un espacio m uestral no es más que el conjunto de todos los posibles resultados de un experim ento aleatorio.

Teniendo en consideración lo anterior, se define una variable aleatoria com o una función definida en un espacio m uestral dado que tom a valores en un conjunto de núm eros reales.

En general, las variables aleatorias pueden ser discretas o continuas. Las discretas solo tom an un número finito de posibles valores, mientras que las continuas pueden tom ar un número infinito de valores en todo el conjunto de los números reales o en un intervalo de este. [17] El presente estudio se constituye a partir del trabajo con variables aleatorias discretas.

2.1.2 Media y desviación estándar de variables aleatorias discretas

M edia

El valor esperado o media es la medida de tendencia central de uso más frecuente. Suponiendo un resultado de n mediciones o datos de un determinado parámetro, las que se denotan por x_1, x_2, \ldots, x_n , su promedio, denotado com o \hat{x} , viene dado por:

$$\bar{\mathbf{x}} = \frac{x_1 + x_2 + \dots + x_n}{n} = \frac{\sum_{i=1}^{n} \mathbf{x}_i}{n}$$
 (2.1)

Si se repitieran algunas de estas mediciones, com o, por ejem plo: n_I es el núm ero de datos con valor x_I , n_2 es el núm ero de datos con valor x_2 , ... n_k es el núm ero de datos con valor x_k , resultando:

$$n = n_1 + n_2 + \dots + n_k \tag{2.2}$$

La expresión del promedio quedaría:

$$\bar{\mathbf{x}} = \frac{n_1 x_1 + n_2 x_2 + \dots + n_k x_k}{n} = \frac{\sum_{i=1}^{n} n_i x_i}{n}$$
 (2.3)

Pero conociendo que la frecuencia relativa de un resultado se define com o el número de veces que aparece dicho resultado entre el número total de pruebas:

$$f_i = \frac{n_i}{n} \tag{2.4}$$

La expresión 2.3 resulta:

$$\overline{\mathbf{x}} = \sum_{i=1}^{n} f_i x_i \tag{2.5}$$

Por otro lado, según la definición de probabilidad, es posible tom ar la frecuencia relativa com o una medida de la probabilidad de ocurrencia de un evento específico, cuando el número de pruebas es relativam ente alto y existe estabilidad en el valor de las frecuencias; por lo que sustituyendo las frecuencias f_i por los valores de probabilidad:

$$\sum_{i=1}^{n} p_i x_i = p_1 x_1 + p_2 x_2 + \dots + p_k x_k$$
 (2.6)

Esta sum a da una medida de la tendencia central del conjunto de valores x_i y se conoce com o valor esperado o media de la variable.

Desviación típica o estándar

La desviación típica o estándar se expresa a través de la siguiente ecuación: [18]

$$s = \sqrt{\frac{\sum_{i=1}^{n} (x_i - \bar{x})^2}{n-1}}$$
 (2.7)

2.1.3 Histogram as de probabilidad

Los histogramas de probabilidad son gráficos de barras para representar las variables aleatorias.[19]

Pero para realizar la representación gráfica de dichas variables primeram ente se requiere la construcción de tablas de frecuencia. Para ello se divide el conjunto n de observaciones de la variable x_1, x_2, \ldots, x_n , en clases, delimitadas en intervalos que dependen del problem a en cuestión. Una vez confeccionadas las clases, los datos pueden ser distribuidos en frecuencias absolutas, que se define como el número de datos del conjunto original que pertenecen a una clase i.

Para la construcción del gráfico, se llevan al eje horizontal los intervalos de las clases y se levantan sobre estos rectángulos o barras que tengan un área igual a la frecuencia absoluta correspondiente. O sea, la clase i con amplitud a_i de su intervalo y frecuencia absoluta n_i tendrá un rectángulo de base a_i y altura $\frac{\boldsymbol{n}_i}{\boldsymbol{a}_i}$. Considerando una misma amplitud a para todas

las clases, entonces la altura de cada rectángulo será $\frac{n_i}{a}$. [17]

Un histogram a es tam bién un estimado de la distribución de probabilidad de una variable obtenida a partir de un conjunto de observaciones.[19]

2.1.4 Estimación puntual y por intervalo de la media y la desviación estándar

A menudo, se requiere el estudio de un conjunto de objetos homogéneos respecto a cierto índice cualitativo o cuantitativo que caracteriza a estos objetos. En ocasiones se puede realizar una investigación total, es decir, se examina cada uno de los objetos del conjunto respecto al índice que interesa. Pero en la mayoría de las situaciones esto no es posible, porque el conjunto es muy grande o infinito, o, por ejemplo, porque el estudio lleva implícito un conjunto considerable de gastos materiales o la destrucción del objeto de estudio. En estos casos se escogen fortuitamente del total un número limitado de objetos y se someten los mismos al estudio. A este subconjunto se le llama conjunto muestral o simplemente muestra y se asocia con el conjunto general o población del cual se extrae.

El problem a de la estimación de los parámetros de una población consiste en aplicar métodos por medio de los cuales se calculan los parámetros de la muestra de manera que sean significativam ente confiables para extenderlos a la población.

La mayoría de las distribuciones de probabilidad dependen de cierto número de parám etros. En el caso específico de la distribución normal, esta depende de la media poblacional μ y la desviación estándar poblacional σ . Salvo que estos parám etros se conozcan, deben estimarse a partir de los datos.

Básicam ente, se distinguen dos tipos de estim aciones: la estim ación puntual y la estim ación por intervalo. [20]

El objetivo de la estimación puntual es usar una muestra para obtener un valor que sea el que mejorrepresente el verdadero valor del parámetro, es decir, que tenga el menor error de estimación.

Una primera propiedad deseable en los estimadores es que sea insesgado, lo que significa que su distribución de probabilidad muestral siem pre estará centrada en el valor verdadero del parám etro que estima; y la segunda propiedad importante es que, una vez insesgado, el estimador posea la menor varianza. El estimador resultante es conocido como estimador insesgado de varianza mínima (MVUE, siglas en inglés de minimum variance unbiased estimator).

En una muestra aleatoria con distribución normal, la media muestrales el MVUE de μ , y se calcula según la ecuación 2.1.

A unque la desviación estándar muestral no es un estimador insesgado de σ , puede usarse para la estimación si n es suficientem ente grande, determinándose por la ecuación 2.7

Debido a la variabilidad del muestreo, la estimación puntual puede sustituirse por un intervalo de valores factibles para el parámetro, lo que se denomina estimación por intervalo o intervalo de confianza. [21]

Sea θ el parámetro a estimar de una población, se toma entonces una muestra de dicha población y se halla un intervalo aleatorio I(x) tal que:

$$\Pr ob\{\theta \in I(x)\} = 1 - \alpha \tag{2.8}$$

A $(1 - \alpha)$ se le conoce com o nivel de confianza de la estimación, y se dice que I(x) es un intervalo de confianza del $(1 - \alpha)100$ % o una estimación por intervalo con un nivel de confianza de $(1 - \alpha)$. [17]

Para determinar el intervalo de confianza para los parám etros desconocidos μ y σ de una población con distribución normal se tiene, para el primer caso, que:

$$\bar{x} - \frac{s}{\sqrt{n}} t_{\frac{\alpha}{2}, n-1} \le \mu \le \bar{x} + \frac{s}{\sqrt{n}} t_{\frac{\alpha}{2}, n-1}$$
 (2.9)

Donde:

 $t_{\alpha/2,\,n-1}$: valor crítico de la distribución t con orden $\alpha/2$ y n-1 grados de libertad

Para el segundo caso:

$$\sqrt{\frac{s^{2}(n-1)}{\chi^{2}\frac{\alpha}{2},^{n-1}}} \le \sigma \le \sqrt{\frac{s^{2}(n-1)}{\chi^{2}\frac{\alpha}{2},^{n-1}}}$$
 (2.10)

D onde:

 $\chi^2_{\alpha/2, n-1}$: valor crítico de la distribución ji cuadrada con orden $\alpha/2$ y n-1 grados de libertad

2.1.5 Distribución de probabilidad norm al o de Gauss

El modelo de probabilidad norm alo de Gauss es el de mayor aplicación en el campo de las estadísticas y las probabilidades. Entre sus grandes ventajas están:

- 1. La función de densidad probabilística (PDF, siglas en inglés de probability density function)

 norm al puede modelar el comportamiento de muchos procesos de la vida práctica.
- 2. Los procesos que no siguen un comportamiento norm al pueden ser aproximados a este mediante la combinación de funciones de distribución norm ales con apropiadas media y desviación estándar.
- 3. Los métodos de estimación basados en modelos normales generalmente conducen a modelos lineales de soluciones menos complejas matemáticamente.
- 4. La sum a de muchos eventos aleatorios independientes tiene una distribución norm al, lo cual se conoce com o el teorem a del lím ite central.

U na variable aleatoria X distribuida norm alm ente es descrita por la siguiente PDF:

$$f(x) = \frac{1}{\sqrt{2\pi}\sigma} \exp\left[-\frac{(x-\mu)^2}{2\sigma^2}\right]$$
 (2.11)

El punto máximo de la PDF normal se alcanza cuando $x = \mu$, y está dada por:

$$f(\mu) = \frac{1}{\sqrt{2\pi}\sigma} \tag{2.12}$$

Por su parte, la función de distribución acum ulada (CDF, siglas en inglés de cumulative distribution function) de dicha variable se determ ina com o:

$$F(x) = \frac{1}{\sqrt{2\pi}\sigma} \int_{-\infty}^{x} \exp\left[-\frac{(x-\mu)^2}{2\sigma^2}\right] dx \qquad (2.13)$$

La figura 2.1 muestra ambas funciones para a un modelo normal.

En una distribución normal, los valores de mayor probabilidad se encuentran alrededor de la media y la probabilidad de un valor decrece exponencialmente con el incremento de la distancia entre dicho valor y la media.

El área total bajo la curva de la PDF es la unidad. Por su parte, el área bajo esta propia curva delimitada por una desviación estándar a cada lado del valor medio ($\mu \pm \sigma$) es 0.6827, el área delimitada por dos desviaciones estándar a cada lado del valor medio ($\mu \pm 2\sigma$) es 0.9545 y el área delimitada por tres desviaciones a cada lado del valor medio ($\mu \pm 3\sigma$) es 0.9973. [19] A estas expresiones se les llama comúnmente propiedades de las tres σ . [17]

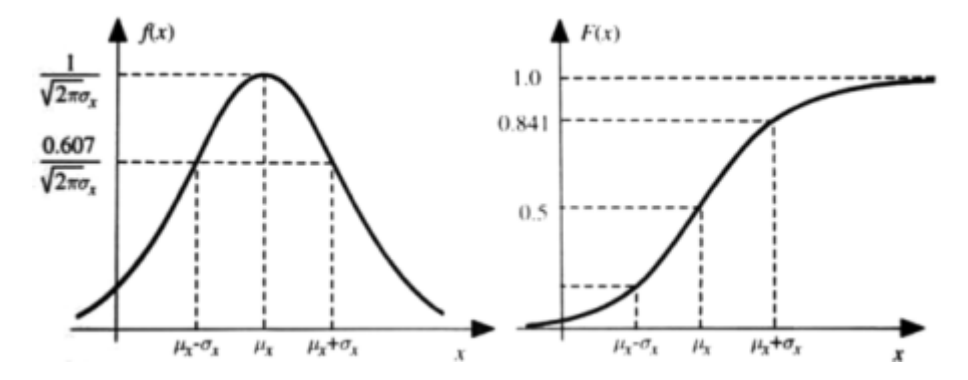


Figura 2.1. Funciones de densidad probabilística y de distribución acum ulada de Gauss.

[19]

2.2 Cuantificación de la susceptibilidad de los equipos a problem as discretos de calidad de la energía

Las cargas pertenecientes a los usuarios finales, en general, pueden verse afectadas por eventos de corta duración. Prácticam ente todas las condiciones de hundimiento de tensión (sags) duran al menos 4 o 5 ciclos (a menos que el fallo sea eliminado por un fusible limitador de corriente). Por lo tanto, uno de los métodos más com unes para cuantificar la susceptibilidad del equipo a las pérdidas de voltaje es usando un gráfico de magnitud-duración. En el capítulo anterior se hizo mención a las curvas CBEM A y ITI las cuales limitan con una región som breada las zonas donde las interrupciones, sags y swells no son menos perjudiciales para el equipamiento sensible. Por lo tanto, las cargas típicas probablemente se apagarán cuando el voltaje esté por debajo de la curva ITI. [3]

CAPÍTULO 3. RESULTADOS Y DISCUSIÓN

3.1 Introducción

C on el propósito de caracterizar el estado de la PQ mediante técnicas estadísticas se realizó una recopilación de las lecturas de varios dispositivos ION durante el año 2016 y los prim eros cuatro meses del 2017.

El capítulo muestra, en primer lugar, la caracterización de las interrupciones correspondientes a los datos de la provincia de Villa Clara y posteriormente, el análisis de los sags/swells correspondientes a Sancti Spíritus actuando según lo señalado por las normas IEC.

3.2 Interrupciones

A continuación, se presentan los resultados de analizar los datos correspondientes a las interrupciones de distribución primaria, secundaria y de servicio. Empleando tablas y gráficos de barras se muestra el comportamiento de las interrupciones en cada uno de los circuitos antes mencionados.

3.2.1 Caracterización de las mediciones

La figura 3.1 presenta las interrupciones de distribución primaria delaño 2016 con un total de 465 eventos. Com o se aprecia claram ente la mayor incidencia de interrupción fueron las voluntarias, asociadas a mantenimientos, operación y emergencias, seguidas de las relacionadas a falsos contactos y árboles. Causando un menor impacto, con menos de 10

ocurrencias, destacan las causadas por equipos, rayos, falla en nivel inferior, otros agentes medioam bientales.

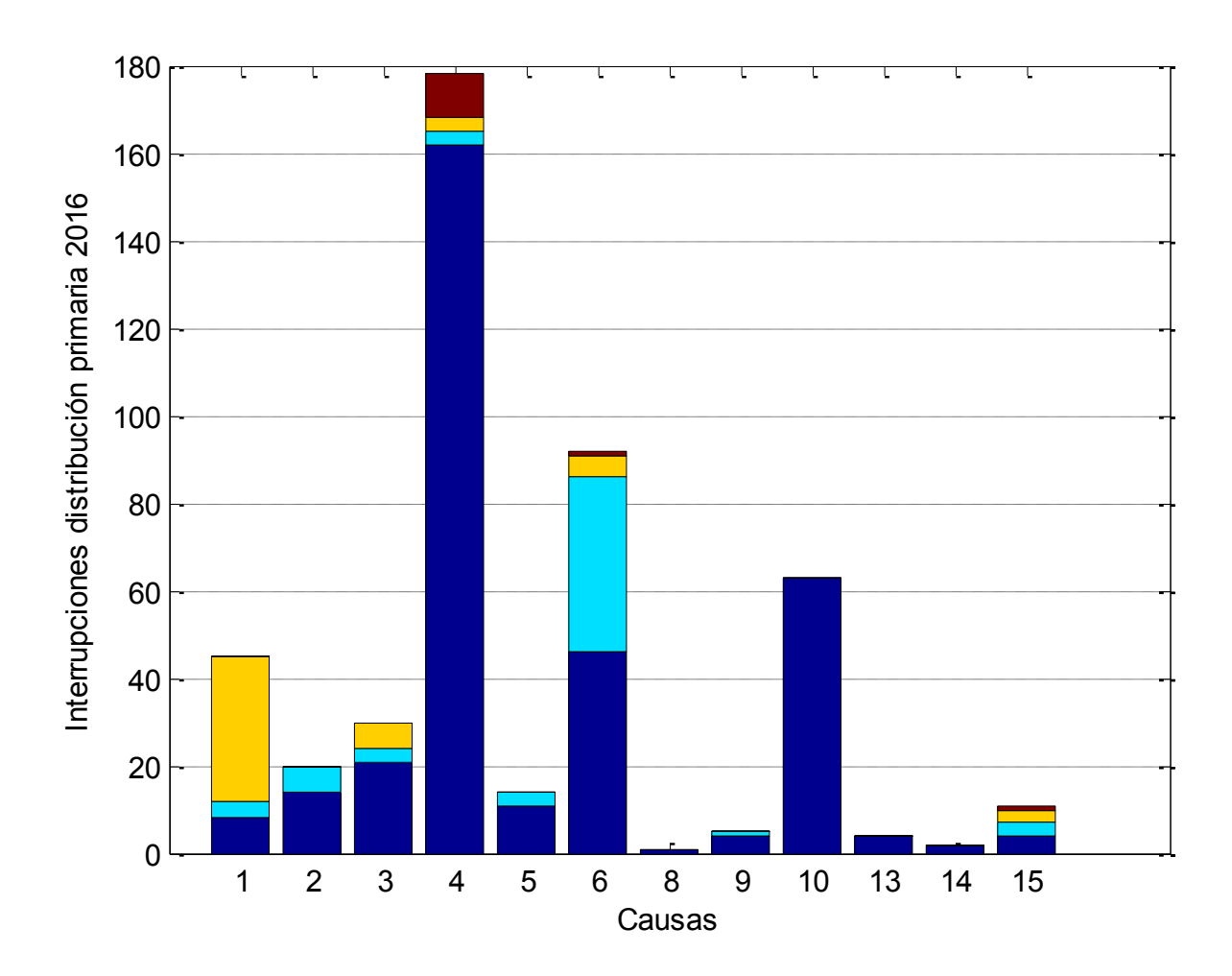


Figura 3.1 Interrupciones de distribución prim aria 2016

La tabla 3.1 ofrece la relación de las causas y subcausas asociadas a las interrupciones de distribución primaria en el año 2016, indicando la nomenclatura de las causas correspondientes a el eje inferior de la figura 3.1 y presentando las subcausas asociadas a cada una de ellas.

Tabla 3.1. Interrupciones de distribución prim aria 2016

N . 0	Causas	Subcausas
		M antenim iento
		O peración
1	voluntarias	E m ergencias
		Poste partido
2	E stru c tura s	Poste caído
	Secundario de los	Dañado
	transform adores de	Corrosión
3	d istrib u c i ó n	A islador pasado
		Conductor en mal estado
		Sobrecarga
		Tensión m ecánica inadecuada
4	C on ductor	A m arra suelta
		Cruceta partida
5	C rucetas y herrajes	Corrosión en herrajes
		Puentes con gram pas
		Puentes con Empalmes
		Drop outs
6	Falso contacto	Term in ales
8	Equipos	Drop Outs
		Im pacto directo sobre elem entos de las redes
9	Rayos	V alores altos de resistividad del terreno
1 0	Árbol	
1 3	Falla en nivel inferior	Interrupciones redes tensión inferior
	O tros agentes	
1 4	m edioam bientales	Torm entas
		Tránsito
		E quipos tecnológicos
		Público, papalotes, anim ales, pencas, etc.
1 5	A gentes externos	Derrum bes

La figura 3.2 indica el comportamiento de las interrupciones en las líneas de distribución primarias del año 2016, de las cuales se obtuvo una media anual de 38,75 interrupciones destacando los meses de mayo, junio, julio. agosto y septiembre como los más afectados y para los primeros cuatro meses el promedio fue 28 interrupciones.

Si se comparan los datos de la figura 3.3 correspondiente a las interrupciones registradas en los primeros cuatro meses del año 2017 con una media de 45,75 y los del 2016 notamos un aum ento de 48,8% del total de interrupciones.

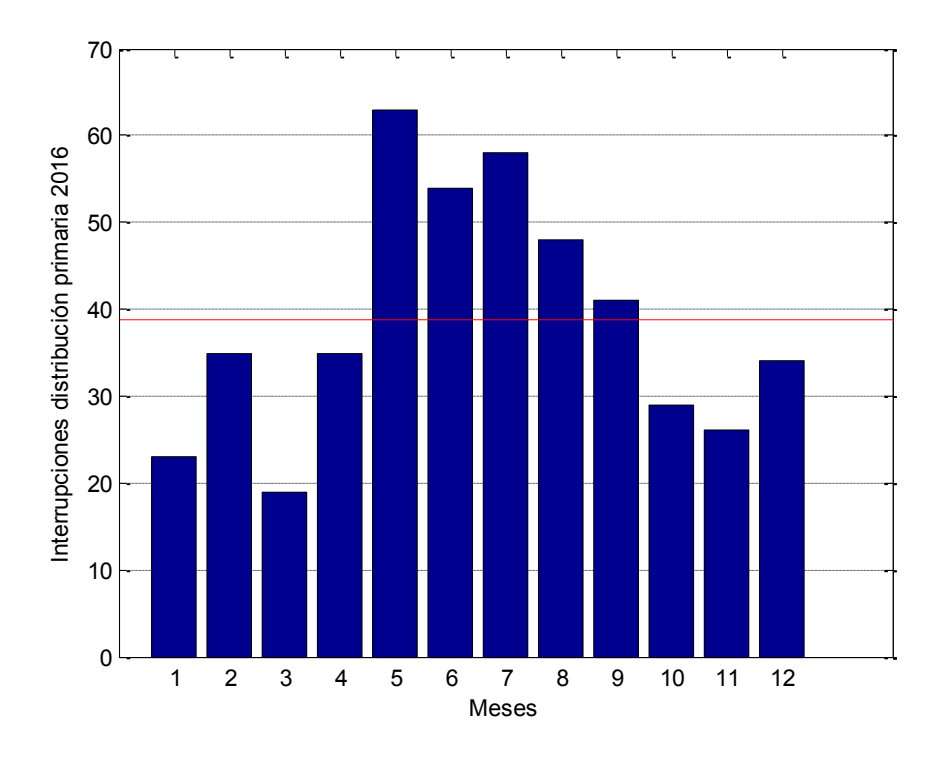


Figura 3.2 Interrupciones de distribución prim arias anuales del 2016

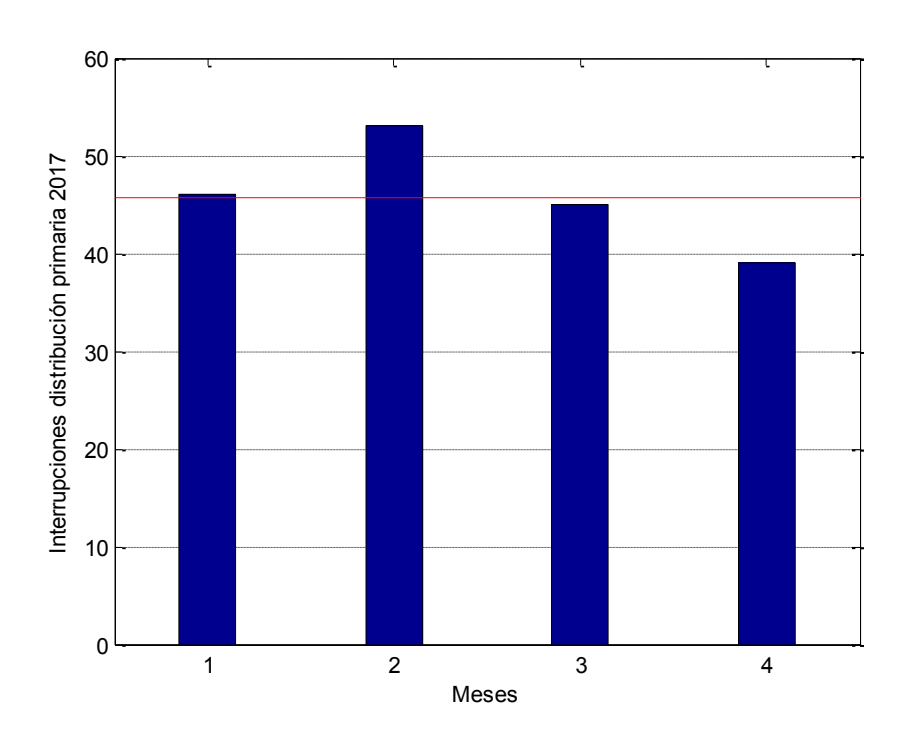


Figura 3.3 Interrupciones de distribución prim arias 2017

La figura 3.4 y la tabla 3.2 muestran el comportamiento de las 6694 interrupciones de distribución secundaria del año 2016, así como sus principales causas y subcausas respectivamente. Sobresalen la incidencia más de 3000 falsos contactos detectados en puentes con grampas, puentes con empalmes, bajantes de transformadores, drop outs, terminales y otros equipos y con niveles inferiores a las 100 interrupciones se encuentran las asociadas a estructura, crucetas y herrajes, A terram iento, Neutro y Shield, O tros agentes medioam bientales y cables de potencia aislados.

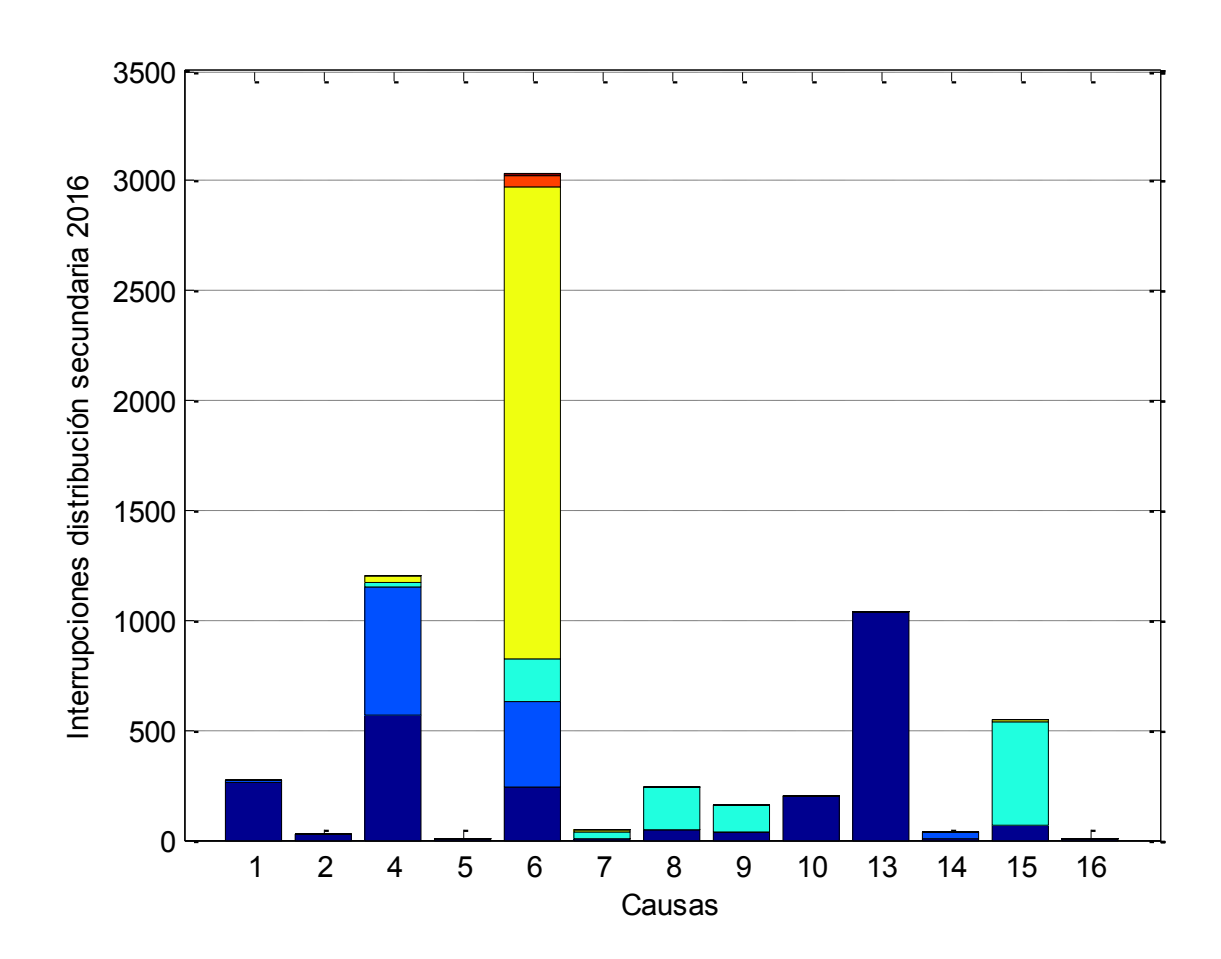


Figura 3.4 Interrupciones distribución secundaria 2016

Tabla 3.2. Interrupciones distribución secundaria 2016

N . o	C a u s a s	Subcausas
		M antenim iento
		O peració n
		Condiciones de Tensión
		Trabajos planificados ajenos
1	V oluntaria	Trabajos de rehabilitación de redes
		Poste partido
		Poste caído
		Tensores o anclas
2	E structura	Tocón
		Conductor en mal estado
		Sobrecarga
		Tensión mecánica inadecuada
4	Conductor	A m arra suelta
		Cruceta partida
5	Crucetas y herrajes	Corrosión en cruceta
		Puentes con gram pas
		Puentes con Empalmes
		Bajantes transform adores
		Drop outs
		T erm in ales
6	Falso contacto	O tros equipos
		Bajante a tierra partido sobre las fases
		Neutro partido sobre las fases
	A terram iento, Neutro y	Neutro abierto
7	S h ie1d	Falso contacto en bajante a tierra
		Drop Outs
		Pararrayos
		Transform adores
8	E q u i p o s	Fusibles
		Impacto directo sobre elementos de las redes
		Shield partido o inexistente
9	Rayos	V alores altos de resistividad del terreno
1 0	Árboles	
1 3	Falla en nivel inferior	Interrupciones redes tensión inferior
	O tros agentes	Inundaciones
1 4	m edio am bientales	T orm entas
		Tránsito
		E quipos tecnológicos
		Público, papalotes, animales, pencas, etc.
		Derrum bes
	A	Quema de caña
1 5	A gentes externos	Daños maliciosos
16	Cables de potencia aislados	Falso contacto (em palm es y term inaciones)

Como se puede apreciar el índice de interrupciones de la figura 3.5 (Interrupciones de distribución secundaria 2017) se corresponde casi de form a proporcional a los datos de la figura 3.4, con un total de 1875 interrupciones permaneciendo una mayor frecuencia las asociadas a falsos contactos con 890 eventos, 253 falla en nivel inferior y 388 en los conductores.

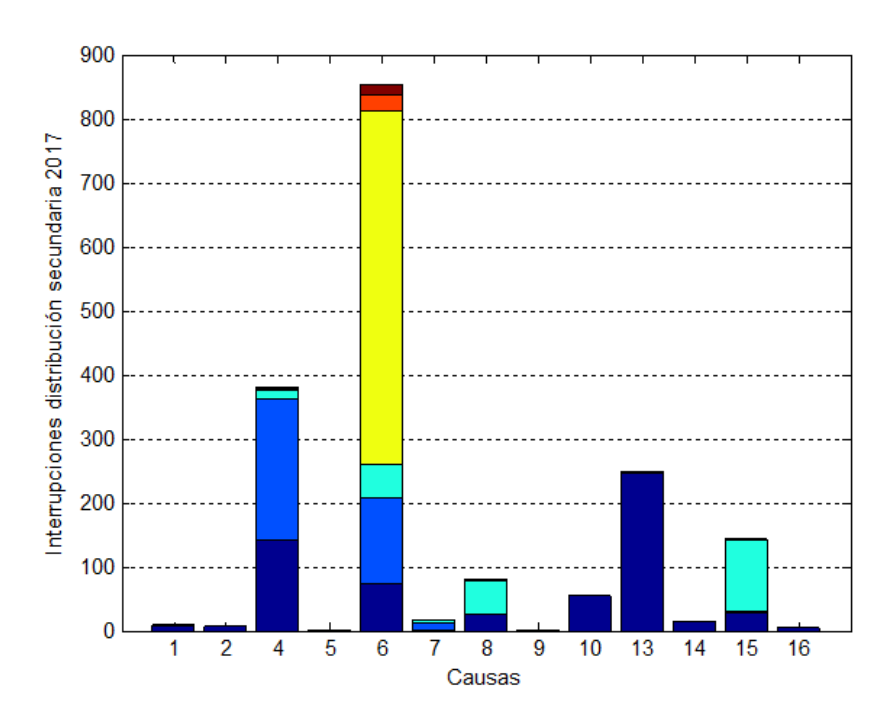


Figura 3.5 Interrupciones distribución secundaria 2017

Paralelo a los registros anuales de distribución primaria del 2016 los datos de la figura 3.6 guardan igual relación en cuanto a los meses más afectados con un promedio anual de 566,1667 interrupciones y para los primeros cuatro meses el valor correspondiente es de 481,5, el cual, comparando con los registros del 2017 hasta esa fecha, figura 3.7, con una media de 453,5 notamos una pequeña disminución en estos valores de 5,82%.

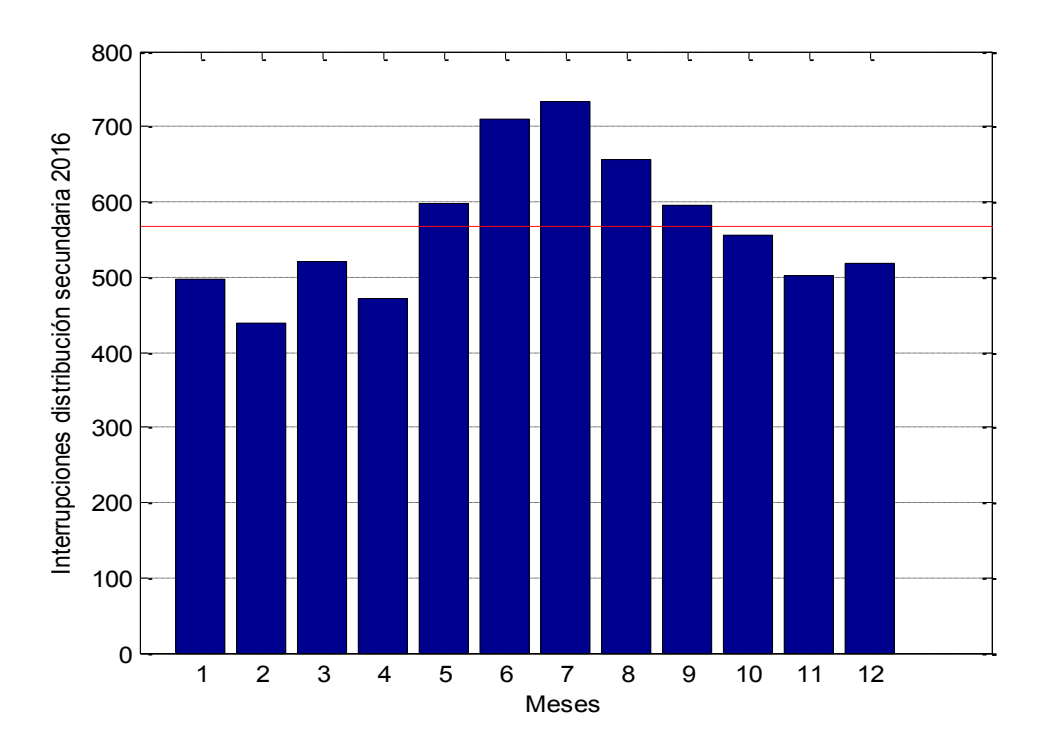


Figura 3.6 Interrupciones anuales de distribución secundaria del 2016

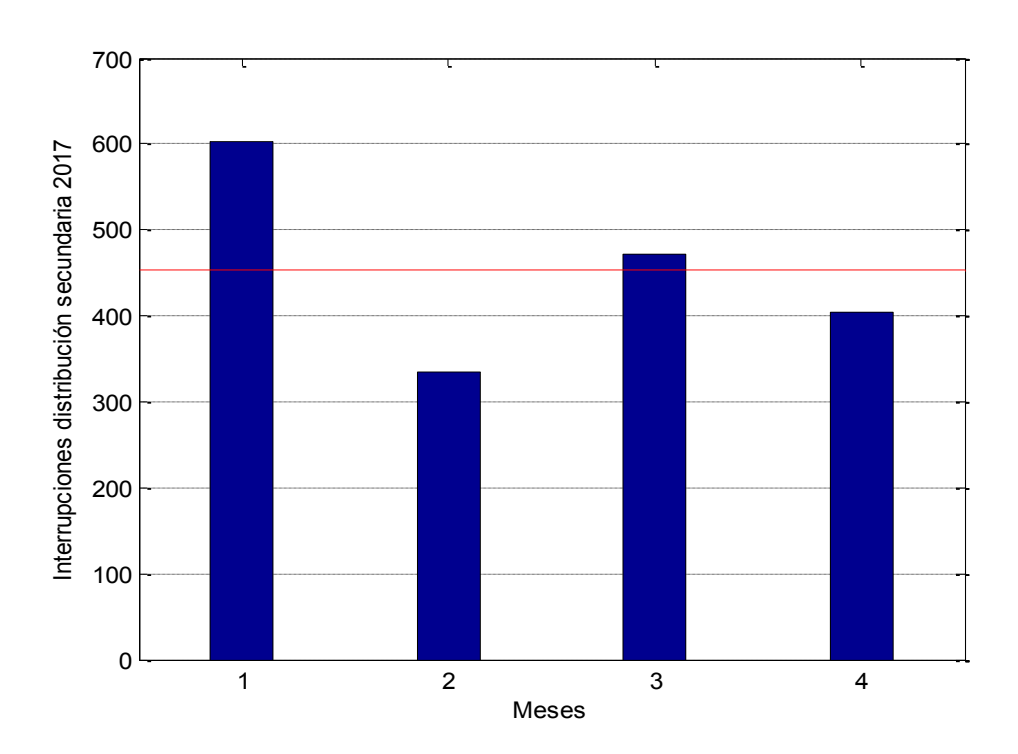


Figura 3.7 Interrupciones de distribución secundaria 2017

La figura 3.8 corresponde a las interrupciones de servicio en órganos estatales del año 2016 con una media anual de 2361,83 interrupciones, comportándose de form a relativam ente estable en cuanto a sus valores ya que los índices de afectaciones mensuales oscilan entre aproximadam ente 2120 y 2630 interrupciones.

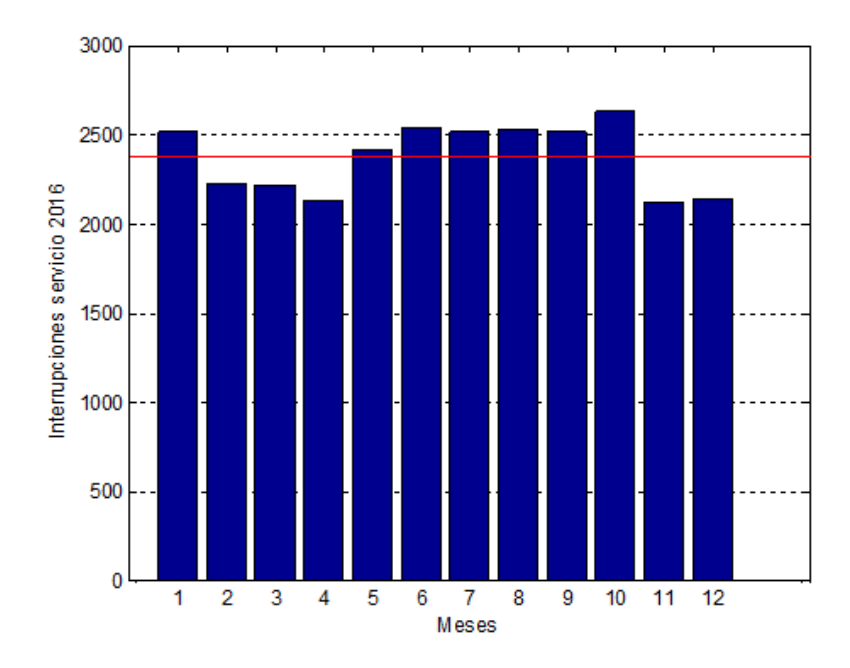


Figura 3.8 Interrupciones anuales de servisio 2016

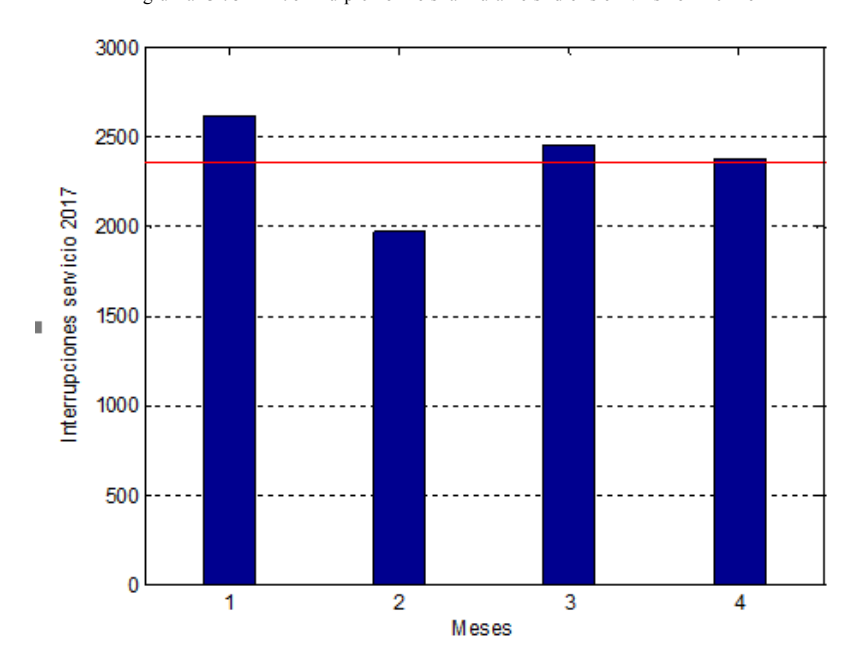


Figura 3.9 Interrupciones de servisio 2017

En la figura 3.10 se ofrecen una panorám ica sobre el comportam iento de las interrupciones de servicio que haciéndose corresponder a los datos de la tabla 3.3 nos muestran que un gran por ciento de estas están asociados a falsos contactos, falla en nivel inferior y en conductores.

Tabla 3.3 Interrupciones de servicio 2016

N . 0	C ausas	Subcausas
1	V oluntario	M antenim iento
		A poyo o asfalda
2	E structura	O tros daños
		Sobrecarga
		A com etida dañada
		A com etida inadecuada
4	C on ductor	Entrada/salida de corriente
		A com etida
6	Falso contacto	M etro contador
		Transform adores de corriente
8	Equipos	M etro contador
		Im pacto directo sobre elementos de las redes
9	Rayos	V alores altos de resistividad del terreno
1 0	Árboles	
1 3	Falla en nivel inferior	Interrupciones fallas del cliente
		Tránsito
		E quipos tecnológicos
		Público, papalotes, anim ales, pencas, etc.
		D errum bes
		Armas de fuego y explosiones
		Q uem a de caña
15	Agentes externos	Daños maliciosos
		Falla de aislam iento
		Falso contacto (em palm es y term inaciones)
		Sobrecarga
16	Cables de potencia aislados	O tros factores externos

De igual form a la figura 3.11 refleja que en los registros de los primeros cuatro meses del año 2017 predom inan las interrupciones debido a falsos contactos, falla en nivel inferior y en conductores.

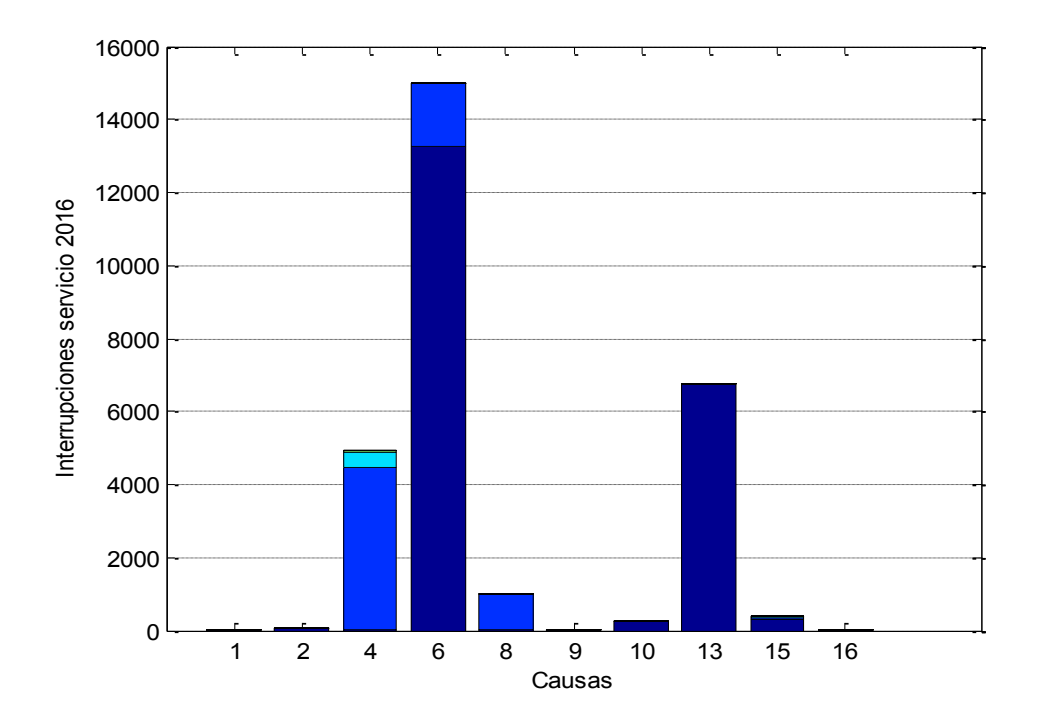


Figura 3.10 Interrupciones de servicio 2016

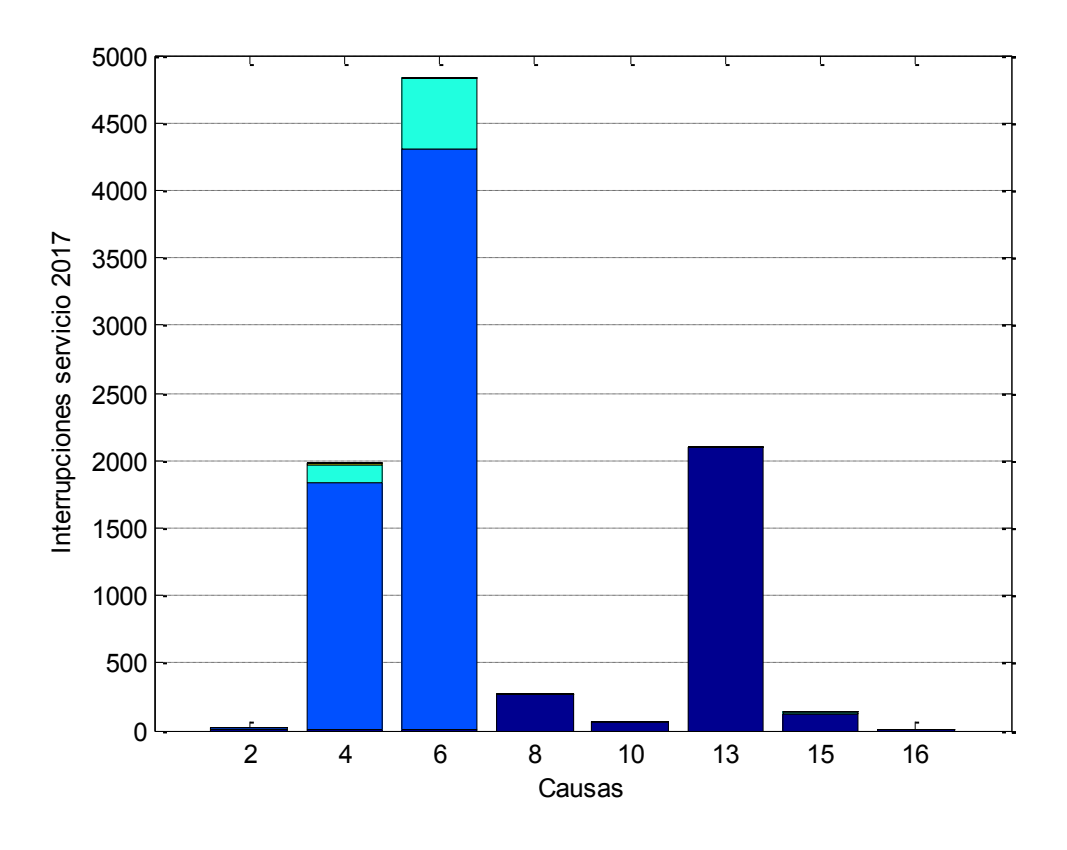


Figura 3.11 Interrupciones de servicio 2017

3.3 Variaciones de tensión (Sags/Swells)

Com o bien se refleja en el histogram a de la figura 3.12 la ocurrencia de swells en el 2016 fue baja, mientras que predominó la ocurrencia de sags con valores entre 80 y 90% con aproximadam ente 49 eventos.

La figura 3.13 muestra un histograma de función de densidad probabilística contra magnitud de los sags, los valores de mayor probabilidad se encuentran alrededor de la media representada por la línea verde y con un valor aproximado de 0,7253 pu, reiterándose el predominio de los sags que se encuentra entre el 80 y 90%. Las líneas rojas indican un nivel de confianza entre el 5 y el 95% de que los parám etros analizados se hallen entre 0,23 y 0,89 pu en base a su voltaje nominal.

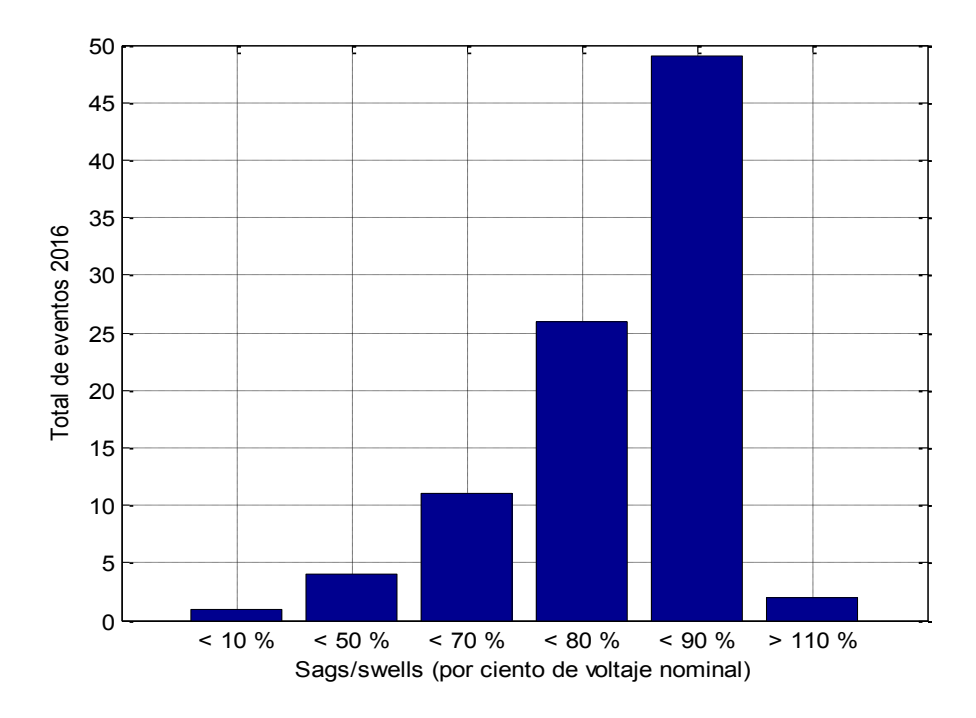


Figura 3.12 Histogram a de total de eventos (% de voltaje nom inal)

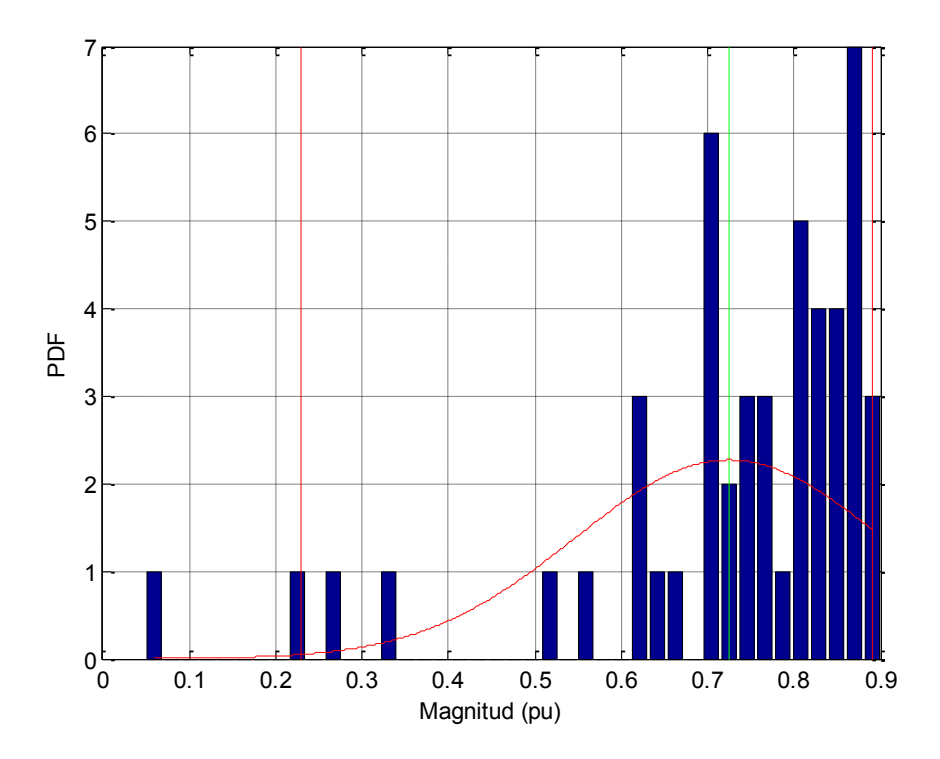


Figura 3.13 Función de densidad probabilística contra m agnitud (pu)

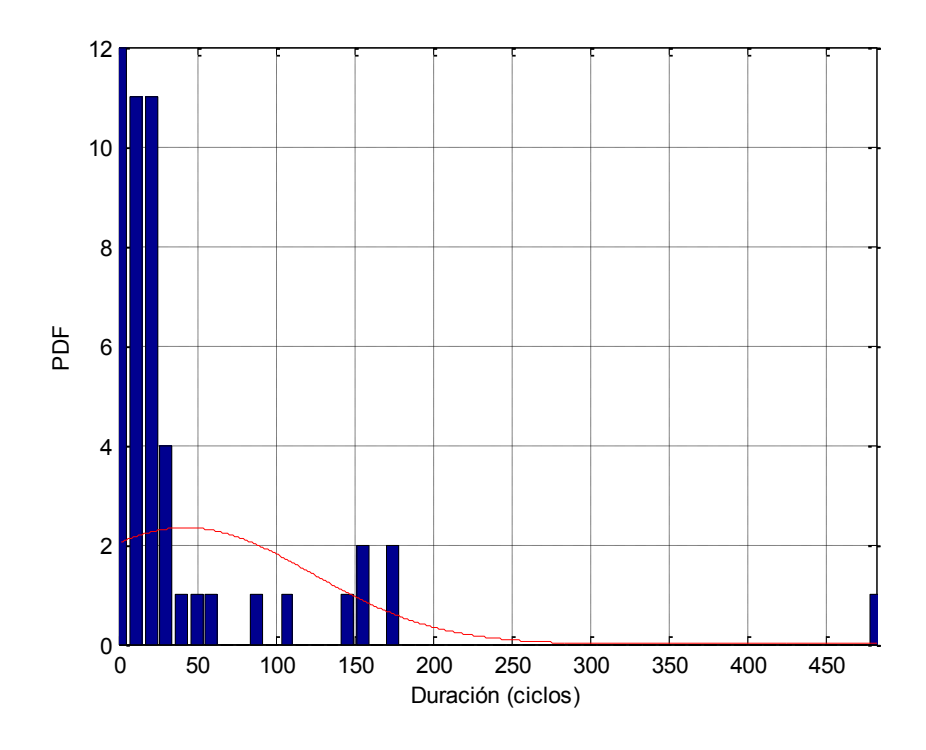


Figura 3.14 Función de densidad probabilística y duración (ciclos)

El análisis de la figura 3.14 m uestra que la mayor incidencia de sags presentaron tiem pos de duración inferiores a los 8.3 m s. Para obtener una mejor idea se presenta la figura 3.15, que ilustra la distribución de probabilidad de Gauss de estas magnitudes, donde se desta can los valores de probabilidad de entre 5 y 95% con valores de 1.5 y 171 respectivam ente o su equivalente 25 m s y 2.83 segundos.

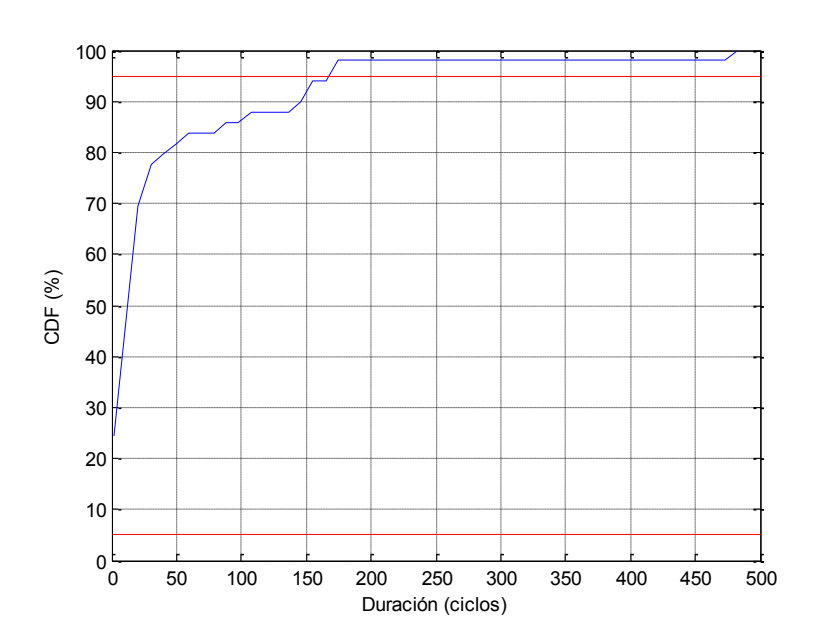


Figura 3.15 CDF de la duración por ciclos.

En la figura 3.16 se representa la curva ITI, los puntos son una representación de los sags y swells. Los que se encuentran dentro o próximos a la región de tolerancia a las variaciones de voltaje sin duda alguna son los menos perjudiciales a los equipos sensibles quedando alrededor de siete eventos de esta naturaleza que constituyeron un peligro eminente a dichos equipos debido a la duración de los mismos.

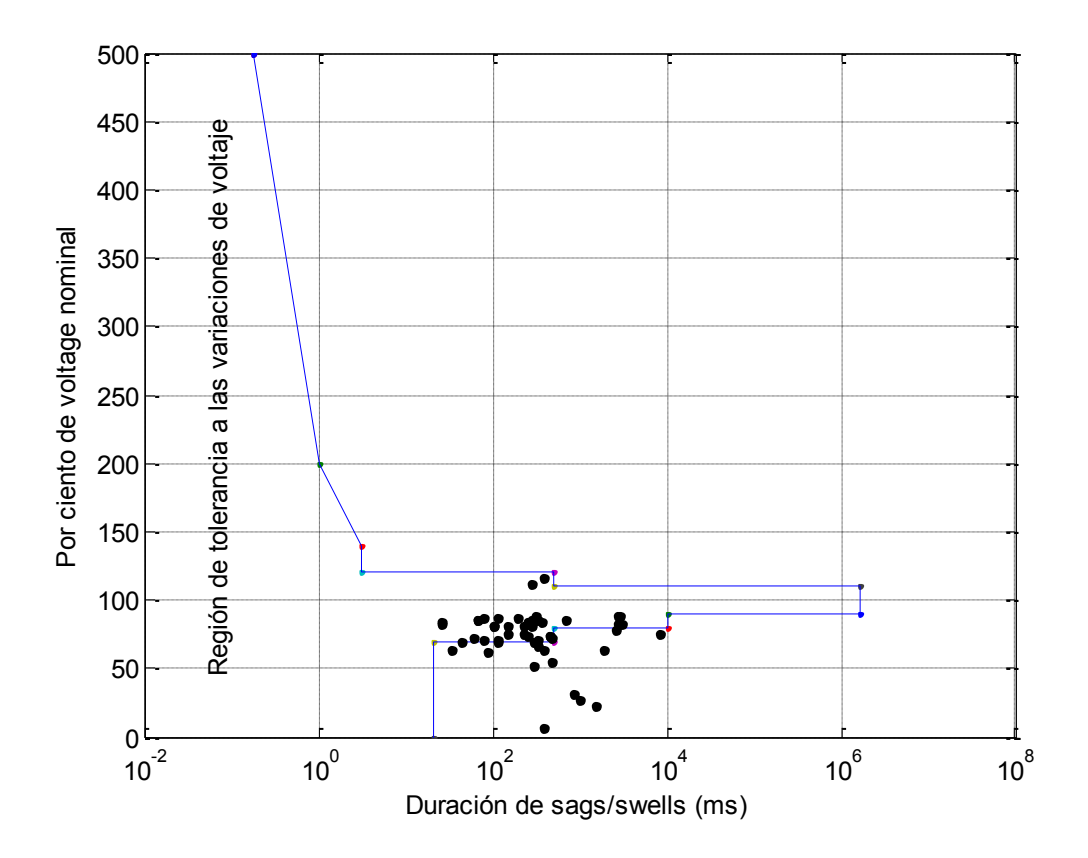


Figura 3.16 Curva ITI.

CONCLUSIONES Y RECOMENDACIONES

Conclusiones

- Los parametros discretos que afectan la calidad de la energía son las interrupciones, los sags y los swells, asociados generalmente a fallas en el sistem a y en dependencia de su duración y magnitud pueden llegar a ser más o menos perjudiciales para cargas sensibles.
- Las principales técnicas estadísticas para la caracterización efectiva de estos fenóm enos son los histogram as de probabilidad y la estimación puntual y por intervalo; técnicas que nos perm ite agrupar, asociar y tom ar muestras para clasificar y caracterizar estos fenom enos.
- Los resultados de la simulación en el MatLab® de las mediciones disponibles prueban la efectividad y seguridad de técnicas estadísticas para evaluar y caracterizar los parámetros discretos de la calidad de la energía. Resaltando los meses de verano como los de mayor registro de interrupciones y el predominio de sags con amplitudes próximos a los 80 y 90% de sus valores nominales.

R e c o m e n d a c i o n e s

- A provechar el máxim o las propiedades y la amplia gama de mediciones que pueden realizar los dispositivos que se encuentran instalados en nuestras redes de distribución con el fin de tener una mejor visión de el estado y comportamiento de la calidad de la energía.
- Crear una base de datos donde queden registrados los distintos eventos que acontecen en las redes de distribución con la finalidad de realizar la caracterización de cada uno de ellos e incluso servir como material de estudio en próximas investigaciones.

REFERENCIAS BIBLIOGRÁFICAS

- [1] Biswal B., Biswal M., Mishra S., and Jalaja R. "Automatic Classification of Power Quality Events Using Balanced Neural Tree". IEEE Trans. Ind. Electron. Vol. 61, N° 1, p. 521-530. ISSN: 0278-0046. DOI: 10.1109/TIE.2013.2248335, 2014.
- [2] Valtierra M., Romero R. J., Osornio R. A., and Garcia A. "Detection and Classification of Single and Combined Power Quality Disturbances Using Neural Networks". *IEEE Trans. Ind. Electron*. Vol. 61, N° 5, p. 2473-2482. ISSN: 0278-0046. DOI: 10.1109/TIE.2013.2272276, 2014.
- [3] Singh B., and Arya S. R. "Back-Propagation Control Algorithm for Power Quality

 Improvement Using DSTATCOM". IEEE Trans. Ind. Electron. Vol. 61, N° 3, p.

 1204-1212. ISSN: 0278-0046. DOI: 10.1109/TIE.2013.2258303, 2014.
- [4] IEC. Electromagnetic Compatibility Part 4: Testing and Measurements

 Techniques Section 30: Power Quality Measurement Methods, IEC 61000-4-30,
 2003.
- [5] Salmerón P., Herrera R. S., Pérez A., and Prieto J. "New Distortion and Unbalance Indices Based on Power Quality Analyzer Measurements". IEEE Trans. Power Del. Vol. 24, N° 2, p. 501-507. ISSN: 0885-8977. DOI: 10.1109/TPW RD.2009.2013378, 2009.
- [6] S. Kumar, "Power Quality Issues and its Mitigation Techniques", M.S. dissertation,
 a. Dept. Elect. Eng., Nac. Inst. of Tech. Rourkela, Orissa, 2014.
- [7] R.C.Dugan, M.F.McGranaghan, S.Santoso, and H.W.Beaty, Electrical Power

 a. System Quality, 2nd ed. McGraw Hill, 2004.
- [8] M. Alam, and M. Gain, "Power Quality Problems and Solutions: an Overview",

 Int. J. of Science and Research (IJSR), vol. 3, pp. 1024-1030, Oct. 2014.

- [9] H. M. S. Chandana, "Power Quality Data Management and Reporting Methodologies", Ph.D. dissertation, Sch. of Elect., Comp. and Telec. Eng., Wollongong Univ., Wollongong, 2008.
- [10] Recommended Practice for Monitoring Electric Power Quality, IEEE Standard
- [11] J. Arrillaga, and N. R. Watson, Power System Harmonics, 2nd ed. John Wiley & Sons, 2003.
- [12] A. Barona, "M inimización de los Efectos de las Perturbaciones Eléctricas en los Procesos Industriales", Tesis de Máster, Universidad Pontificia de Comillas, Madrid, 2008.
- [13] Electric Power Systems and Equipment Voltage Ranges, ANSI Standard C84.1, 2006.
- [14] J. V. Milanovic and Y. Zhang, "Global Minimization of Financial Losses Due to Voltage Sags with FACTS Based Devices". IEEE Trans. Power Del., vol.25, no. 1, pp. 298-306, Jan.2010.
- [15] S. kamble and C.H. Thorat, "Characteristics Analysis of Voltage Sag in Distribution System using R.M.S. Voltage Method". A CEEE Int. J. on Electrical and Power Engineering, vol. 03, No. 01, Feb. 2012.
- [16] IEEE Std 1346-1998, IEEE Recommended practice for evaluating electric power system compatibility with electronic process equipment, New York, IEEE, 1998.
- [17] C. W. Guerra, E. Menéndez, R. Barrero, y E. Egaña, Estadística. La Habana:
 Pueblo y Educación, 1987.
- [18] L. M. Hernández, A. Del Castillo, A. Bofill, y R. Pons, Probabilidades. La Habana: Pueblo y Educación, 1988.
- [19] S. V. Vaseghi, Advanced Digital Signal Processing and Noise Reduction, 4th ed. Chichester: John Wiley & Sons, 2008.
- [20] R. E. Walpole, R. H. Myers, y S. Myers, Probabilidades y estadística para ingenieros, 6ta ed. Ciudad de México: Prentice Hall Hispanoam ericana, 2008.

[21] Devore, J. L. Probability and Statistics for Engineering and the Sciences, 8th ed. Boston: Brooks/Cole, Cengage Learning, 2012. 769 p. p 239-299, 468-522.

ISBN: 978-0-538-73352-6.

ANEXOS

Anexo I Nomenclador de causas

Id Causa	Causa
1	Voluntarias
2	Estructuras
	Secundario de los transform adores de
3	d istrib u ció n
4	Conductor
5	Crucetas y Herrajes
6	Falso contacto
7	Aterram iento, Neutro y Shield
8	Equipos
9	Rayos
10	Árboles
13	Falla en nivel inferior
1 4	Otros agentes m edioam bientales
1 5	Agentes externos
1 6	Cables de potencia aislados

Anexo II Nomenclador de Subcausas

I d		
Causa	Id _ Subcausa	Subcausas
1	1	M antenim iento
1	1	Pararrayos in adecuados
1	2	O peració n
1	2	Pararrayos Explotados
1	3	Em ergencias
1	3	Sin pararrayos
1	4	Déficit de capacidad
1	4	Bajante a tierra partido
1	5	C o n d ic io n e s d e T e n s i ó n
1	5	Alto valor de resistencia de aterram iento

1	6	Trabajos planificados propios
1	7	Trabajos planificados ajenos
	8	
1	1	Trabajos de rehabilitación de redes
2	2	Poste partido
2		Poste caído
2	3	Tensores o anclas
2	4	Tocón
2	5	A poyo o asfalda
2	6	O tros daños
3	1	Dañado CC del Secundario
	1	
3	2	Corrosión
3	2	A cometida
3	3	Aislador pasado
3	3	Consum idor
3	4	Tránsito
3	5	Arboles
3	6	O tros
4	1	Conductoren malestado
4	1	Aislamiento
4	2	Sobrecarga
4	2	B u sh in g
4	3	Tensión mecánica inadecuada
4	3	Bajo nivel de aceite
4	4	Calibre in adecuado
4	4	Falso contacto
4	5	A m arra su e lta
4	5	Cam bia Taps
4	6	A com etida dañada
4	6	O tro s
4	7	A com etida inadecuada
4	8	Entrada/salida de corriente
5	1	Cruceta partida
5	1	S a lin a
5	2	Corrosión en cruceta
5	2	In dustrial
5	3	Falta de apriete de aisladores
5	3	A gríco la
5	4	Corrosión en herrajes
5	4	O tros
5	5	O tros daños
5	6	A vión dañado
6	1	Puentes con gram pas

6	1	Bajo tensión
6	2	Puentes con Empalmes
6	2	O scilacion es mantenidas
6	3	Bajantes transform adores
6	4	Drop outs
6	5	Term in a les
6	6	Entrada/salida de corriente
6	7	A com etid a
6	8	M etro contador
6	9	O tros equipos
7	1	Bajante a tierra partido sobre las fases
7	1	Tránsito (caída de poste)
7	2	Neutro partido sobre las fases
7	2	Derrum be
7	3	N eutro abierto
7	3	Torm entas
7	4	Falso contacto en bajante a tierra
7	4	O tros
7	5	Shield partido sobre las fases
8	1	In terruptores o recerradores
8	2	Drop Outs
8	3	O tros Desconectivos
8	4	Pararrayos
8	5	Transform adores
8	6	Transform adores de Potencial
8	7	Transform adores de corriente
8	8	Capacitores
8	9	Barras
8	1 0	Baterías
8	11	F u s i b l e s
8	1 2	R e le va d o re s
8	1 3	Reactores
8	1 4	R e g u la d o r e s d e t e n s i ó n
8	1 5	Compresores
8	1 6	Desconectivos en parte secundaria de SE´s
8	1 7	M etro contador
9	1	Im pacto directo sobre elem entos de las redes
9	2	Bajante a tierra abierto o inexistente
9	3	Shield partido o inexistente
9	4	Valores altos de resistividad del terreno
11	1	M ala coordinación
11	2	Calibración o ajuste incorrecto
11	3	O peración incorrecta de la DAF

11	4	O peración defectuosa de telecom andos
11	5	O peración incorrecta de interruptores
1 1	6	Error del personal
1 1	7	N o operación del Recierre
1 1	8	D e s b a la n c e
1 2	1	Fallas provocadas en un nivel de voltaje superior
1 2	2	Operación de la DAF
1 2	3	Operación de la DAV
1 2	4	Operación de la ACA
1 3	1	Interrupciones redes tensión inferior
1 3	2	In terru p c io n e s falla s d e l c lien te
1 4	1	In u n d a c io n e s
1 4	2	Contam inación salina
1 4	3	Contam inación quím ica-industrial
1 4	4	O tros tipos de contam inación
1 4	5	Torm entas
1 5	1	Tránsito
1 5	2	E q u ip o s te c n o l ó g ic o s
1 5	3	Público, papalotes, anim ales, pencas, etc.
1 5	4	Derrum bes
1 5	5	Arm as de fuego y explosiones
1 5	6	In cendios
1 5	7	Quema de caña
1 5	8	Daños maliciosos
1 6	1	Falla de aislam iento
1 6	2	Daño m ecánico
1 6	3	Falso contacto (em palm es y term inaciones)
1 6	4	Contam inación
16	5	H u m e d a d
16	6	Rayo
1 6	7	Sobrecarga
1 6	9	Animales
16	1 0	Tránsito
1 6	11	O tros factores externos